

2000 年度 卒業論文

# $C_{60}$ 内包 カーボンナノチューブ の構造

電気通信大学 電子工学科 電子デバイス工学講座 4 年

9610115 中村 俊哉

指導教官 齋藤 理一郎 助教授

提出日 平成 13 年 2 月 8 日

# 目次

|   |           |
|---|-----------|
| 謝辞  | iii       |
| <b>1 序論</b>                                 | <b>1</b>  |
| 1.1 カーボンナノチューブ                              | 1         |
| 1.1.1 カーボンナノチューブの発見                         | 1         |
| 1.1.2 単層カーボンナノチューブの発見                       | 2         |
| 1.2 SWNT の生成                                | 3         |
| 1.2.1 アーク蒸発法                                | 3         |
| 1.2.2 レーザー蒸発法                               | 4         |
| 1.3 フラーレン                                   | 6         |
| 1.3.1 フラーレンの構造                              | 6         |
| 1.4 カーボンナノチューブの構造                           | 7         |
| 1.5 フラーレン内包カーボンナノチューブ                       | 9         |
| 1.5.1 内包型フラーレン                              | 9         |
| 1.5.2 $C_{60}$ 内包カーボンナノチューブ                 | 9         |
| 1.6 本研究の目的及び方法                              | 11        |
| 1.7 本論文の構成                                  | 11        |
| <b>2 <math>C_{60}</math> 内包 SWNT の構造最適化</b> | <b>12</b> |
| 2.1 方法                                      | 12        |
| 2.2 分子動力学的手法 (Molecular dynamical Method)   | 13        |
| 2.2.1 系の運動方程式                               | 13        |
| 2.2.2 動力学シミュレーション                           | 13        |
| 2.2.3 構造最適化に適用                              | 14        |
| 2.3 構造最適化プログラムの実行                           | 16        |

|          |                                |           |
|----------|--------------------------------|-----------|
| 2.4      | $C_{60}$ 内包時のエネルギー             | 17        |
| 2.4.1    | $C_{60}$ 内包 SWNT               | 21        |
| <b>3</b> | <b>温度を考慮した構造最適化</b>            | <b>25</b> |
| 3.1      | 温度設定プログラム                      | 25        |
| 3.2      | プログラムの実行                       | 27        |
| 3.3      | 温度入力時の $C_{60}$ 内包チューブの変化      | 28        |
| 3.3.1    | (10,10) チューブの温度設定              | 28        |
| 3.3.2    | 温度入力グラフ                        | 30        |
| 3.3.3    | $C_{60}$ を複数個内包した (10,10) チューブ | 32        |
| 3.3.4    | 結果                             | 35        |
| <b>4</b> | <b>結論</b>                      | <b>36</b> |
| <b>A</b> | <b>各種ソフトの使い方</b>               | <b>37</b> |
| A.1      | ナノチューブ座標の作り方                   | 37        |
| A.1.1    | ユニットセルを作る                      | 38        |
| A.1.2    | チューブをつなげる                      | 38        |
| A.1.3    | チューブ、又は $C_{60}$ を軸方向に移動する。    | 39        |
| A.2      | x-mol の使い方                     | 39        |
| A.2.1    | 描画方法                           | 40        |
| A.2.2    | アニメーション表示                      | 40        |
| A.3      | xvgr の使い方                      | 41        |
| <b>B</b> | <b>プログラムソース</b>                | <b>42</b> |
| B.1      | 構造最適化プログラム                     | 42        |
| B.1.1    | 構造最適化プログラムの実行                  | 43        |
| B.2      | 温度を考慮した構造最適化プログラム              | 43        |
| B.3      | 経験ポテンシャルのパラメータファイル             | 67        |
|          | 参考文献                           | 70        |

## 謝辞

本研究及び論文作成に当たり、御指導を賜りました指導教官の齋藤理一郎助教授に厚く御礼の言葉を申し上げます。また研究室セミナー等にてさまざまな御指導を賜りました、木村忠正教授、湯郷成美助教授に感謝致します。

そして、勉強や遊びと一緒にすごしてきた、木村・湯郷研究室の学生の皆様に感謝の意を表したいと思います。また、数々の助言を頂いた院生の皆様に感謝致します。そして、経済的援助と生活を支えくださった私の両親に感謝申し上げます。

2001年2月

中村 俊哉

# 第 1 章

## 序論

### 1.1 カーボンナノチューブ

#### 1.1.1 カーボンナノチューブの発見

カーボンナノチューブ (CNT:Carbon Nano tube 以下チューブまたは NT) は、グラファイトシートを継目が無いように筒状に巻いたような構造である。巻き方の違いによりさまざまな直径や螺旋度を持つ CNT が存在する。ナノチューブの構造を一般的に表現する方法として、カイラルベクトルという 2 つの整数値の指数がもちいられる。

そして、その構造を決める指数 (カイラル指数) で電子的性質 (金属・半導体) を一意に決められることが理論計算により明らかにされている [1][2][3]。

チューブには二種類のものがあり、太い直径を持つ NT の中に細い NT、更に細い NT というふうに何重もの入れ子構造の NT は、多層カーボンナノチューブ (MWNT:Multi-Wall Carbon Nanotube) と呼ばれる。対して一層のものを単層カーボンナノチューブ (SWNT:Single-Wall Carbon Nanotube) と呼ぶ。

MWNT は 1991 年に日本電気基礎研究所の飯島らのグループによって発見された。飯島らは  $C_{60}$  の生成過程において陰極先端に堆積した塊の中から偶然にも入れ子構造をとった MWNT を発見した。そしてこの時発見されたチューブは先端が丸く閉じており、巨大なフラーレンのような閉殻構造をとっていた。このことは幾何学的な考えから六員環のみならず五員環が炭素ネットワークを構成していることがわかる。

## 1.1.2 単層カーボンナノチューブの発見

MWNT の発見から二年後の 1993 年、鉄 [Fe] やコバルト [Co] などの磁性金属の超微粒子をグラファイトで包んだナノカプセルを合成する過程で、思いがけず SWNT が発見された。その後触媒作用をもつ金属としてニッケル [Ni] も挙げられた。

SWNT の長さや直径は金属触媒の種類に依存し、長いものは数  $\mu\text{m}$  あり、直径は典型的には 1nm から 3nm までのものを得ることができる。最も細い直径で  $\text{C}_{60}$  とほぼ同じ [0.7nm] ものまでである。これらの特徴は MWNT とは明らかに異なり、SWNT がフラレンにより近い構造を持っていることを示している。MWNT の物性はバルクのグラファイトのそれと大差ないのに比べ、SWNT はその物性が六員環ネットワークのトポロジーにより支配される特異な性質をもつ。また、分子とバルクの間にある一次元物質として注目されている新物質でもある。

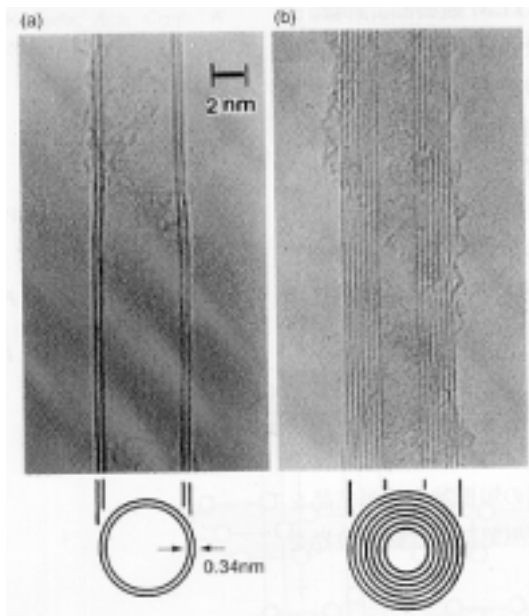


図 1.1 多層ナノチューブの SEM 像  
*Nature* 354(1991)323 より引用<sup>1</sup>

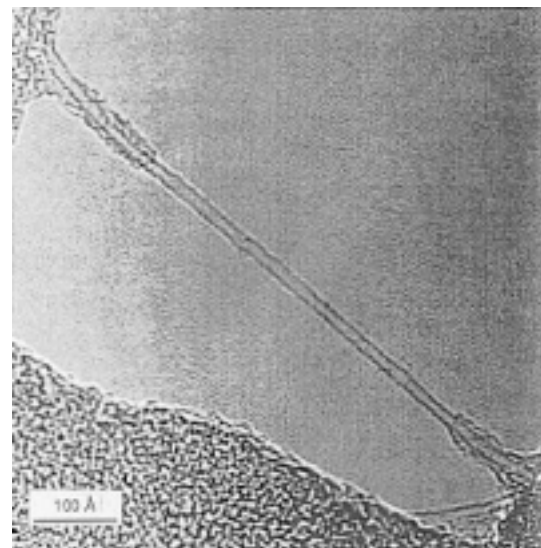


図 1.2 単層ナノチューブの SEM 像  
*Nature* 363(1993)606 より引用<sup>2</sup>

<sup>1</sup>図 1.1 = u00naka/eps/mwcnt.eps

<sup>2</sup>図 1.2 = u00naka/eps/swnt.eps

## 1.2 SWNT の生成

単層ナノチューブの高密度、大量合成を可能にしたアーク放電法とレーザー蒸発法についてここで簡単に触れておく。どちらの方法においても炭素と同時に触媒となる金属を気相に供給する必要がある。[12]

### 1.2.1 アーク蒸発法

SWNT の合成に用いるアーク放電装置は他のチューブ以外のフラーレンを合成するときにも用いるものとおなじものである。異なる点は用いる電極に SWNT の成長を促す金属触媒を含んだ炭素棒を用いることである。この炭素棒を不活性ガス (主として He) 中で蒸発させると金属 / 炭素混合蒸気のおよそ半分は気相中で凝集して煤を生成する。残りの半分は反対側の陰極先端に堆積する。SWNT はこれらの煤の中に含まれている。

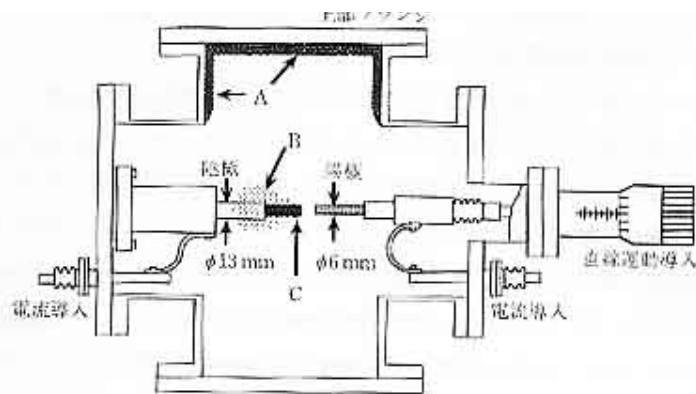


図 1.3 アーク放電法によるフラーレン / ナノチューブ合成装置  
”カーボンナノチューブの基礎”より引用<sup>3</sup>

SWNT 生成の触媒能を有することが明らかにされた金属元素は次の 3 つのグループに別けられる。

|   | 族   | 主な触媒元素     |
|---|-----|------------|
| 1 | 鉄   | Fe, Co, Ni |
| 2 | 白金  | Pd, Rh, Pt |
| 3 | 希土類 | La, Y      |

<sup>3</sup>図 1.3 = u00naka/eps/ark2.eps

ここで SWNT 生成の触媒として最もメジャーな Ni,Co といった鉄族触媒を用いた合成法に少し触れておく。SWNT がはじめて合成されたのもこの触媒下であった。これら鉄族触媒を用いて生成される SWNT の直径は 0.7nm から 1.5nm の範囲にあり、C<sub>60</sub> などのフラーレンのサイズと同じオーダーである。そして生成された SWNT は非常に長く、図 1.4 に示すようにハイウェイジャンクションのようにチューブ(あるいは束)が互いに絡み合っている。チューブの生成過程を観察するのは困難なことだが、Ni 触媒では Ni 微粒子(粒径 20-50 nm) から多数のチューブが放射状に生え出していることが観測されている。[10]

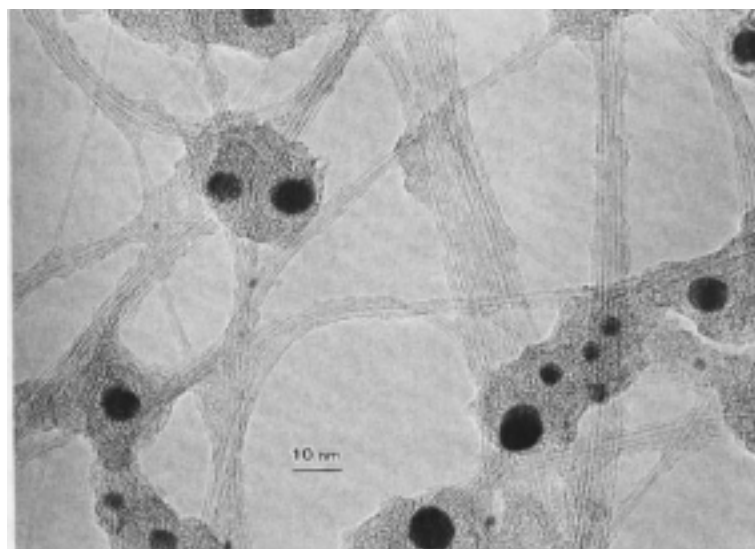


図 1.4 鉄族触媒下で合成された SWNT  
”カーボンナノチューブの基礎”より引用<sup>4</sup>

### 1.2.2 レーザー蒸発法

Smalley の研究グループは高温ガス中レーザー蒸発法を用いて混合触媒を使用し、70% 以上という高収率で SWNT を得ることに成功した。[13] このような高い収率で SWNT を得るためには次の 2 点が必要な条件と考えられる。

1. チューブ成長空間の温度が 1,200 度 と非常に高いこと。
2. 炭素を均一に蒸発させること。

この方法で生成した SWNT の特徴として、次のようなことが挙げられる。

1. 直径約 1.3 nm を中心とした狭い範囲に分布

---

<sup>4</sup>図 1.4 = u00naka/eps/junction1.eps

2. アームチェア型チューブが多い
3. 規則正しく三角格子を組んで配列、結晶化したロープ (ナノロープ) を形成

レーザー蒸発法、アーク放電法ともに触媒金属を変えることによりそれぞれのチューブの直径を変化させることができる。また、おなじ触媒でも電気炉 (チューブ成長空間) の温度を下げることによってチューブ直径を変化させることができる。しかしこの場合、SWNT の収率は下がる。

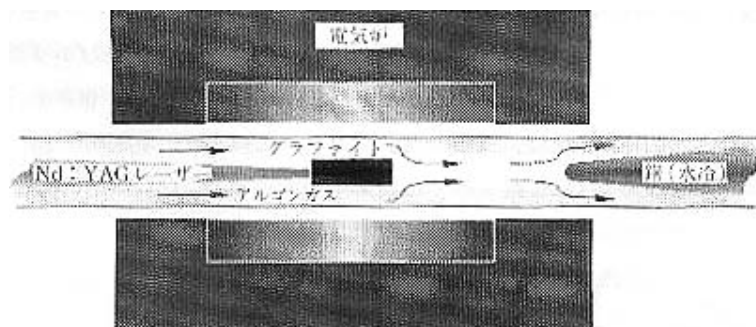


図 1.5 レーザー蒸発法によるフラーレン / ナノチューブ合成装置  
”カーボンナノチューブの基礎”より引用<sup>5</sup>

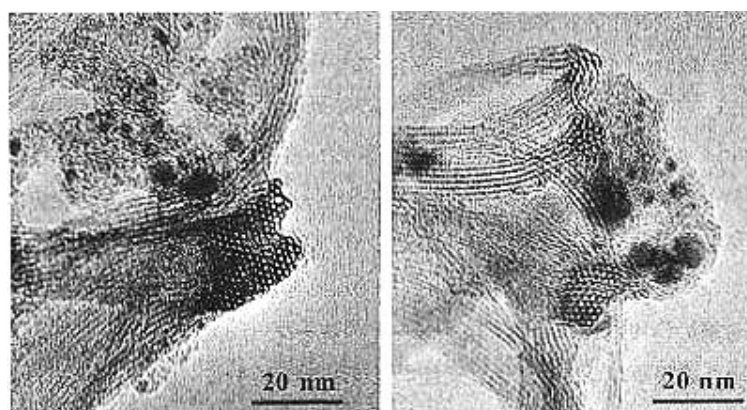


図 1.6 結晶化した SWNT ロープの TEM 像  
”カーボンナノチューブの基礎”より引用<sup>6</sup>

<sup>5</sup>図 1.5 = u00naka/eps/rezar2.eps

<sup>6</sup>図 1.6 = u00naka/eps/lope2.eps

## 1.3 フラーレン

フラーレンとは、 $C_{60}$  を代表とする炭素ネットワーク状物質である。Kroto や Smally らによって 1985 年に発見された。

### 1.3.1 フラーレンの構造

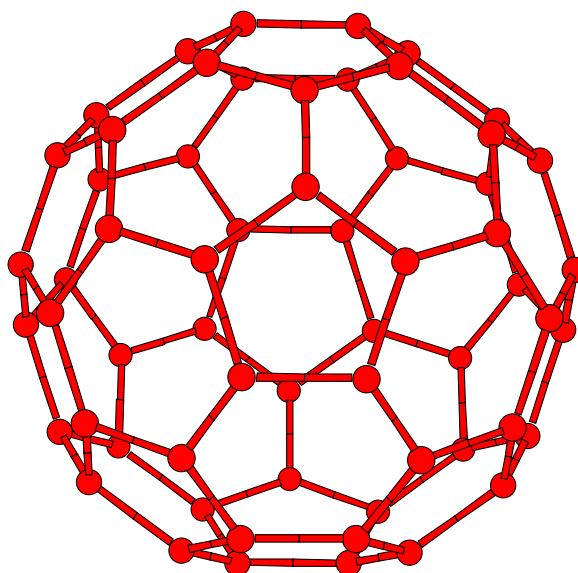


図 1.7  $C_{60}$  の原子模型

R.Matsuo 修士論文 (1999) より引用 <sup>7</sup>

図 1.7 に  $C_{60}$  の x-mol 像を示す。NMR による測定によると 5 角形と 6 角形の接する辺の結合 (5-6 bond) の長さは  $1.447\text{\AA}$ 、6 角形同士が接する辺の結合 (6-6 bond) の長さは  $1.40\text{\AA}$  である。5-6 の結合は 1 重結合的なので single-bond、6-6 の結合は 2 重結合的なので double-bond と呼ばれる。この物質の構造を理論計算で表現することができる。構造最適化計算には第一原理による方法や、タイトバインディングによる方法などがあるが、それらの計算による結合長は実験結果と良く一致している。これらは計算量が原子の個数の 3 乗に比例 (Order  $N^3$ ) かそれ以上であるが、岡田等は計算量が  $O(N)$  になるよう経験ポテンシャルを用いての構造最適で  $C_{60}$  を表現することができる事を示した。[4]。

<sup>7</sup>図 1.7 = u00naka/eps/c60.eps

## 1.4 カーボンナノチューブの構造

カーボンナノチューブの構造はカイラルベクトルと2つの整数値のペアで指定することが出来る [1]。カイラルベクトル ( $C_h$ ) を指定すると、チューブの直径  $R$  やカイラル角  $\theta$ 、チューブの並進ベクトル  $T$ 、単位格子あたりの原子数  $N$  を計算で求めることが出来る。

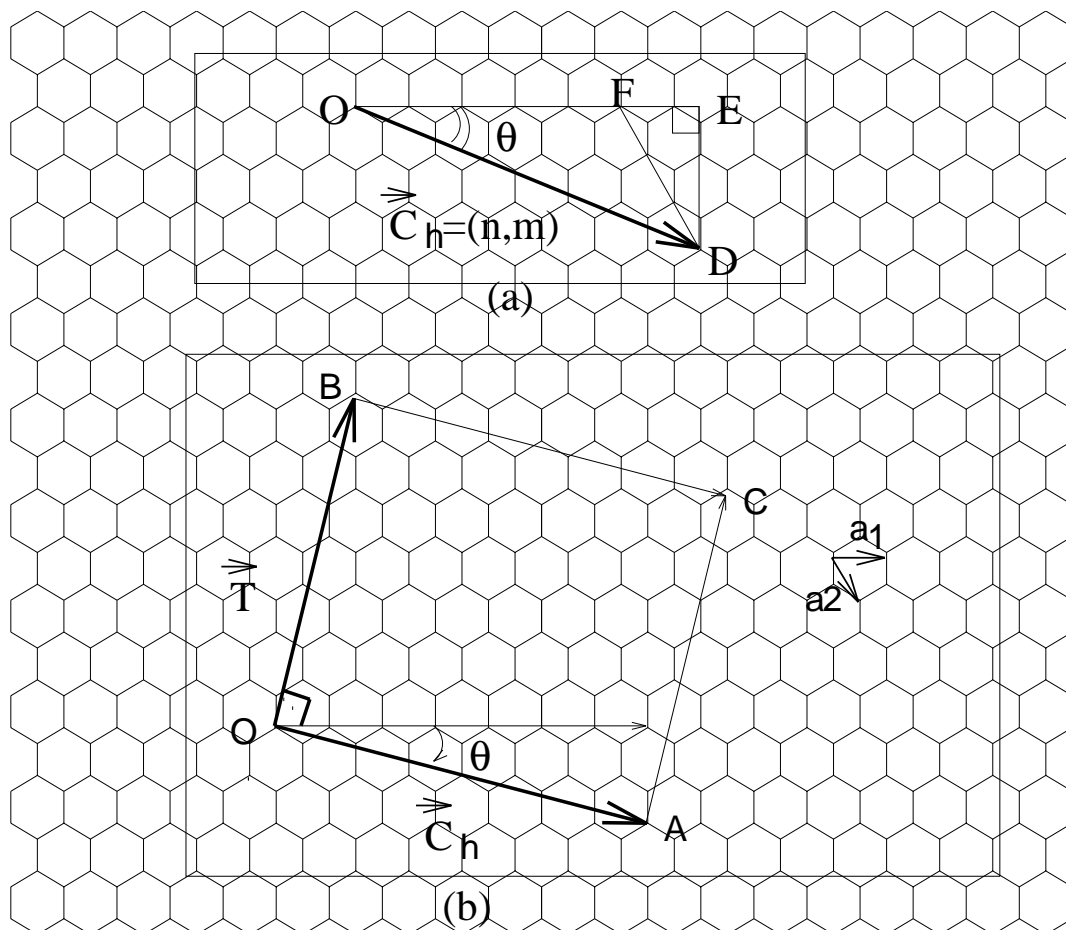


図 1.8 チューブの展開図 ( T.Takeya 卒業論文 (1997) より引用 [5])

(a) $C_h=(5,3)$ , (b) $C_h=(6,2)$  半径  $R=2.8\text{\AA}$ ,  $|T| = \text{\AA}$ ,  $N = 104$ ,  $\theta=13.9$  度<sup>8</sup>

カイラルベクトル :  $C_h$

カイラルベクトルにより NT の筒構造を表すことが出来る。カイラルベクトルは 2 つの整数値  $(n, m)$  ( $0 \leq |m| \leq n$ ) の組で指定でき、グラファイトシートの切りかたを表現している。カイラルベクトル  $C_h$  は グラファイトの基本格子ベクトル  $a_1, a_2$  を用

<sup>8</sup>図 1.8 = u00naka/eps/tenkai.eps

いて表現される。

$$C_h = n\mathbf{a}_1 + m\mathbf{a}_2 \equiv (n, m) \quad (n, m \text{ は整数}, 0 \leq |m| \leq n). \quad (1.4.1)$$

直径 :  $d_t$

また  $C_h$  によって示された線分がチューブの円周になる。点 O・点 A を通り 線分 OA に垂直な直線でグラフィットシートを切り、切った線を合わせるように繋げるこ  
とによりチューブ構造が出来る。炭素原子距離  $a_{c-c}$  が  $1.42\text{\AA}$  とすると、

$$a = |\mathbf{a}_1| = |\mathbf{a}_2| = \sqrt{3}a_{c-c} = 2.46\text{\AA} \text{ を用いて、}$$

チューブの円周は、

$$|C_h| = L = \sqrt{OE^2 + ED^2} = a\sqrt{n^2 + m^2 + nm}, \quad (1.4.2)$$

で与えられ、またチューブの直径  $d_t$  は  $d_t = \frac{L}{\pi}$  で与えられる。

カイラル角 :  $\theta$

$\mathbf{a}_1$  と  $|C_h|$  のなす角をカイラル角  $\theta$  とよぶ、

$$\theta = \tan^{-1} \frac{\sqrt{3}m}{2n + m}. \quad (1.4.3)$$

また  $(0 \leq |m| \leq n)$  の条件より、 $|\theta| \leq 30^\circ$  が与えられる。

付録??に  $d_t$  と  $\theta$  と  $C_h$  を  $d_t$  の小さい順に並べた。

チューブの並進ベクトル :  $\mathbf{T}$

図 1.8(b) において、O から  $C_h$  に垂直な方向ににある O と最初に等価な格子点を  
B とおく。チューブの並進ベクトル  $\mathbf{T}$  はベクトル OB である。  $\mathbf{T}$  は  $\mathbf{a}_1$ 、  $\mathbf{a}_2$  を用い  
て次式で表される。

$$\mathbf{T} = t_1\mathbf{a}_1 + t_2\mathbf{a}_2 \equiv (t_1, t_2) \quad (\text{ただし } t_1, t_2 \text{ は互いに素}) \quad (1.4.4)$$

ここで、  $t_1, t_2$  は  $C_h$  と  $\mathbf{T}$  は垂直なことをもちいて内積の関係  $C_h \cdot \mathbf{T} = 0$  から、  
以下のように表される。

$$t_1 = \frac{2m + n}{d_R}, \quad t_2 = -\frac{2n + m}{d_R}, \quad (1.4.5)$$

ここで  $d_R$  は、  $(2m+n)$  と  $(2n+m)$  の最大公約数である。

チューブのユニットセルと原子数： $2N$

チューブのユニットセルは図 1.8 で  $C_h$  と  $T$  からなる長方形  $OABC$  である。このユニットセル内の六員環の数  $N$  は面積  $|C_h \times T|$  を六員環 1 個の面積 ( $|a_1 \times a_2|$ ) で割ると、求められ次式のようになる。

$$N = 2 \frac{(n^2 + m^2 + nm)}{d_R} \quad (1.4.6)$$

これよりチューブのユニットセル内の炭素原子の数は、 $2N$  となる。

## 1.5 フラーレン内包カーボンナノチューブ

ナノチューブは内部に空洞を持つので、内部に他のフラーレンや更に直径の小さいナノチューブが入りそうなことは容易に予想できる。実際、最初に発見されたナノチューブはそのような多層ナノチューブであった [6]。

### 1.5.1 内包型フラーレン

フラーレンはその内部に異種原子が十分収まる空間を持っている。現在までに様々な種類の金属原子を内包したフラーレンが Smally らの実験から明らかにされている。金属原子を取り込むフラーレン籠は主に  $C_{82}$  である。多量に合成される  $C_{60}$  や  $C_{70}$  ではなく、空のフラーレンとしてははるかにマイナーな  $C_{82}$  が金属原子を内包しているのが特徴である。このとき、内側に取り込まれる原子は一個だけでなく、複数 (2、3 個) が一緒に内包されていることもある。フラーレンが内包型であることをあらわす場合には、“@”(アットマーク) を使って書き表す。例えば、 $C_{82}$  分子に  $M$  原子が  $n$  個内包されていることを、 $M_n@C_{82}$  と書く。ナノチューブでもこれと同じことが言え、カイラルベクトル (10, 10) のチューブの中に  $C_{60}$  が内包されていることを、 $C_{60}@(10, 10)$  と書き表す。

### 1.5.2 $C_{60}$ 内包カーボンナノチューブ

B.W.Smith らのグループは 1998 年、ハロゲン金属の触媒下において、炭素原料からパルスレーザー蒸発法を用いて生成した SWNT 中に  $C_{60}$  などのフラーレンが内包されていることを報告した [7][8][9]。

1998 年後半、Jeremy Sloan らのグループは透過型電子顕微鏡を用い、SWNT 中に内包されているフラーレンの種類、形状を観察し、その直径から何であるかを特定した。同時にフラーレン内包 SWNT の生成予測も行っている。[10] 1998 年に先立ってこの種の研究が盛んに行われなかった背景には、フラーレンを内包した SWNT の産出量が少量だったため(アーク放電法を用いていた。)と考えられる。

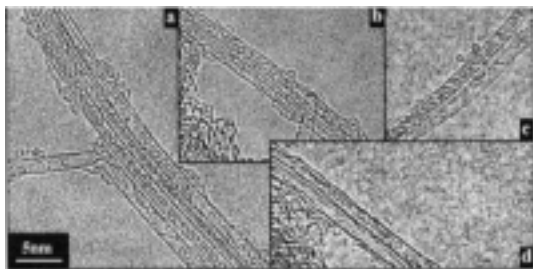


図 1.9 束で存在する  $C_{60}$  内包 SWNT の SEM 像

Chemical Physics Letters **316**(2000)

191. より引用<sup>9</sup>

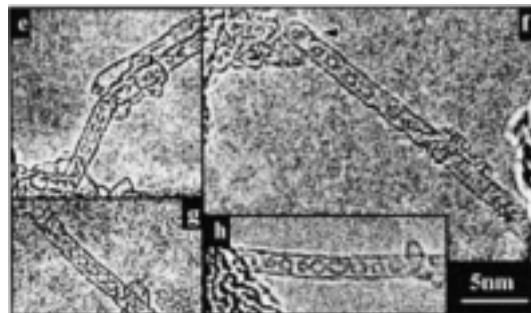


図 1.10 単体で存在する  $C_{60}$  内包 SWNT の SEM 像

Chemical Physics Letters **316**(2000)

191. より引用<sup>10</sup>

また、Jeremy Sloan らはこの時同時にハロゲン金属触媒下において電子線の照射により内包フラーレンが崩壊及び重合することも確認している。もっと最近では単に温度を上昇させる(約 1200 度)ことによって同様のことが起きることが S.Bandow らによって確認されている [14]。

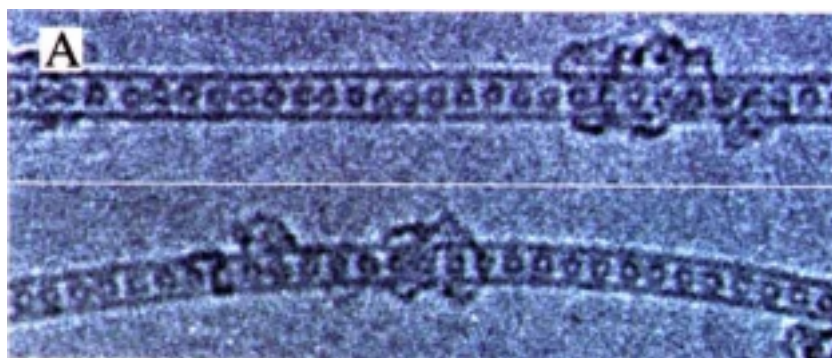


図 1.11  $C_{60}$  内包カーボンナノチューブの SEM 像

[14] より引用<sup>11</sup>

<sup>9</sup>図 1.9 = u00naka/eps/sw1.eps

<sup>10</sup>図 1.10 = u00naka/eps/sw2.eps

<sup>11</sup>図 1.11 = u00naka/eps/naihou1.eps

## 1.6 本研究の目的及び方法

$C_{60}$  内包 SWNT の安定構造を解析する。99 年度卒業の松尾氏が作製した構造最適化プログラムを用いて  $C_{60}$  内包 SWNT と単体の SWNT をそれぞれ構造最適化し、そのときのエネルギーの差  $\Delta E$  を計る。この  $\Delta E$  が大きいほど SWNT が  $C_{60}$  を内包したときの方がエネルギーが得、つまり  $C_{60}$  を内側に取り込みやすいといえる。

そして、構造最適化プログラムを改良し新たに温度を設定できるようにする。そして Jeremy Sloan らの研究 [10] に関して興味深かった内包フラーレンの重合及び破壊の過程を時間を追って観察 (アニメーション表示) する。

## 1.7 本論文の構成

この論文の構成を述べる。第 2 章では  $C_{60}$  内包カーボンナノチューブの構造最適化を行った。構造最適化プログラムを  $C_{60}$  SWNT に活用し、フラーレン内包カーボンナノチューブの安定構造をもとめた。第 3 章では  $C_{60}$  内包 SWNT に任意の温度を設定し、そのときのチューブの構造や内包分子の変化をシュミレーションして観察した。先に述べた松尾氏のプログラムに手を加え、温度を考慮して構造最適化を行えるように改良した。第 4 章で得られた結論を述べる。付録として計算データ、各種ソフト、プログラムの使い方、プログラムソースを収める。

## 第 2 章

### $C_{60}$ 内包 SWNT の構造最適化

#### 2.1 方法

99 年度卒業の松尾氏の修士論文では、構造最適化プログラムを作製し、MWNT の最適構造を解析した [11]。この構造最適化プログラムを  $C_{60}$  内包 SWNT に応用し、様々なカイラルベクトルのチューブについて最適化をおこなった。最適化の手法として松尾氏は、共役勾配法 (Conjugate Graduate Method)、分子動力的手法 (Molecular Dynamical Method)、という二つの手法を紹介している。ここで簡単にその二つの手法を紹介する。

##### 1. 共役勾配法 (CG 法)

- $n$  元 2 次関数の極小点を  $O(N)$  で求める手法である。構造最適化に応用するには、一般の 2 次関数でないポテンシャルを 2 次関数で近似して、その場合の極小点を求めることを繰り返すことによってエネルギーの最小の点を求めることができる。また 1 回共役勾配法を適用する場合の計算量が  $O(N)$  であるので計算量が削減できる。

##### 2. 分子動力的手法 (MD 法)

- 原子間にかかる力を原子間ポテンシャルを数値微分することにより原子間にかかる力を計算し、ある瞬間の位置・速度の変化をもとめて、速度を一定の減衰率で減らすことにより、系の安定構造を求める手法である。MD 法は 共役勾配法に必要な 2 次微分がない分有利であるが、系に適合するパラメータを必要とする分汎用性が低い。

## 2.2 分子動力学的手法 (Molecular dynamical Method)

分子動力学的手法による構造最適化とは、原子間にかかる力を原子間ポテンシャルを数値微分することにより原子間にかかる力を計算し、ある瞬間の位置・速度の変化をもとめて、速度を一定の減衰率で減らすことにより、系の安定構造を求める手法である。

### 2.2.1 系の運動方程式

系の原子数を  $N$ 、原子の質量を  $m$ 、各原子の座標を  $\mathbf{r}_n$ 、各原子の速度を  $\mathbf{v}_n$ 、各原子にかかる力を  $\mathbf{F}_n$ 、系の全エネルギーを  $U$  とする。

$$\mathbf{r}_n = (x_n, y_n, z_n), \quad (1 \leq n \leq N), \quad (2.2.1)$$

原子の座標は位置ベクトルであらわされる。

$$U = U(\mathbf{r}_1, \mathbf{r}_2, \mathbf{r}_3, \dots, \mathbf{r}_N), \quad (2.2.2)$$

系のエネルギー  $U$  は、位置ベクトル  $\mathbf{r}_n$  の関数である。

$$\mathbf{F}_n = -\left(\frac{\partial U}{\partial x_n}, \frac{\partial U}{\partial y_n}, \frac{\partial U}{\partial z_n}\right), \quad (2.2.3)$$

各原子がポテンシャルにより受ける力は系のエネルギー  $U$  を原子の位置において微分する事により求められる。

$$\frac{d\mathbf{v}_n(t)}{dt} = \frac{\mathbf{F}_n}{m}, \quad (2.2.4)$$

$$\frac{d\mathbf{r}_n(t)}{dt} = \mathbf{v}_n, \quad (2.2.5)$$

そして、運動方程式により 位置と速度と力とが関係づけられている。

### 2.2.2 動力学シミュレーション

先の方程式を微小な時間  $\Delta t$  間隔で区切って考える。  $N_{step}$  をシミュレーションのステップ数、 $T$  を系における時間とする。

$$T = \Delta t N_{step} \quad (2.2.6)$$

$$\mathbf{v}_n(T) = \mathbf{v}_n(T - \Delta t) + \frac{\mathbf{F}_n(T)}{m} \Delta t \quad (2.2.7)$$

$$\mathbf{r}(T) = \mathbf{r}(T - \Delta t) + \mathbf{v}_n(T) \Delta t \quad (2.2.8)$$

$\Delta t$  が十分に小さい場合、この式で原子の運動を近似することができる。

### 2.2.3 構造最適化に適用

式 (2.2.7) にパラメータ  $\varepsilon$  ( $0 \leq \varepsilon \leq 1$ ) を加えることにより、系の原子の運動速度を次第に減衰させることができる。

$$\mathbf{v}_n(T) = \varepsilon \mathbf{v}_n(T - \Delta t) + \frac{\mathbf{F}_n(T)}{m} \Delta t \quad (2.2.9)$$

$\varepsilon = 1$  の場合、系のエネルギー（ポテンシャルエネルギー + 運動エネルギー）は保存されるが、( $0 \leq \varepsilon < 1$ ) の場合、ポテンシャルエネルギーは運動エネルギーへ移り極小に向かい、運動エネルギーは 0 に向かう。このことを利用して構造最適化が行える。実際の計算に用いる  $\Delta t$  と  $\varepsilon$  に関して述べる。 $\Delta t$  は大きいと原子の移動量が大きくなり最適化が早まるが、原子の移動量が大きくなり過ぎると、原子の位置が発散する。本研究で用いた炭素の原子ポテンシャルの場合は 3.0[fs] を用いた場合にしばしば原子の位置が発散した。 $\Delta t = 2.5[fs]$  で収束速度に関して良好な計算結果を得た。

99 年度卒業の松尾氏によると、” 大きな有限の長さのカーボンナノチューブの構造最適化の手法は共役勾配法 (CG 法) より分子動力学的手法 (MD 法) を用いる方が原子数が多い場合計算量において有利” ということが分かった。また、この研究では、系に適合するパラメータは一定であり、後述の温度設定プログラムで速度のパラメータを利用するため、MD 法を用いて構造最適化をおこなった。

構造最適化を実行すると各チューブは規則的な収縮を繰り返し、エネルギーの値はグラフ図 2.12 のように一定の値に収束しようとしていく。MD 法では各原子が振動しつつ最適化が行なわれる。例えて言うならチューブを揺すりながら弛緩させ、各原子を安定位置に収めている状態である。

最適化を実行するにあたり、繰り返しの回数を指定する必要がある。2.5[fs] ごとにプログラムを一回行なう設定になっている。松尾氏のプログラムでの初期値は 2,000 回であるが、様々なカイラルベクトルのナノチューブのエネルギーの収束値は 200 回 (500[fs]) 行なえばフラットになることを確認したので、この研究での繰り返し回数は 200 回を目安に行なった。

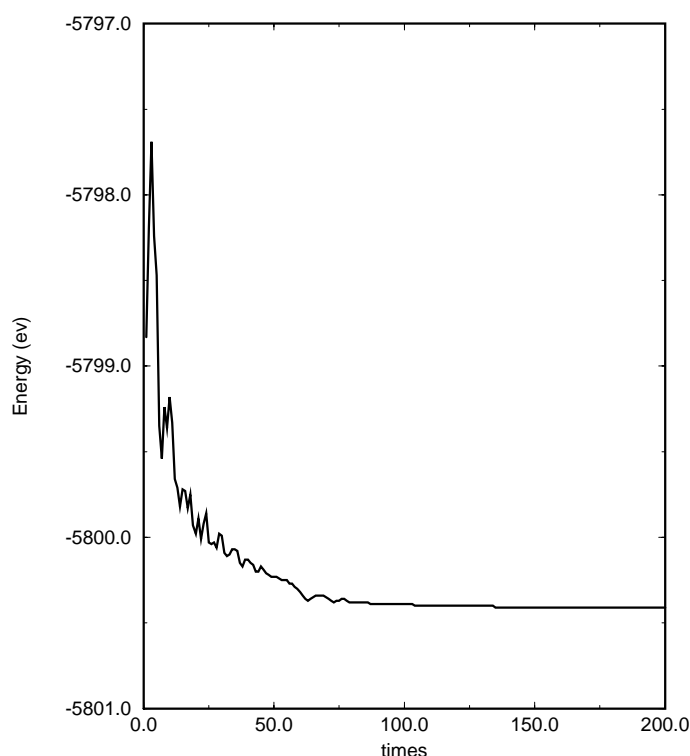


図 2.12 (10,10) チューブのエネルギー収束値と繰り返し回数との関係グラフ<sup>1</sup>

<sup>1</sup>図 2.12 = u00naka/eps/1010eng.eps

## 2.3 構造最適化プログラムの実行

構造最適化プログラムを用いて  $C_{60}$  内包カーボンナノチューブの構造を最適化する。このプログラムを実行する。(参照 A.1) ホストコンピュータは *wire* を用いる。(高速演算が可能。) まず、プログラムをコンパイルする。コマンドラインで

```
% f77 md5.f
```

と打ち込むとコンパイルされ、実行可能ファイル

```
a.out
```

が出来上がる。実行には、チューブ座標のファイル (*tube.xyz*) が必要である。(チューブ座標の作り方は巻末付録 A に掲載。) 任意の出力ファイルを指定する。(例:*kekka.xyz*) コマンドラインで

```
% a.out tube.xyz > kekka.xyz
```

と打ち込むと計算が開始され、数秒の後出力ファイルに結果の座標が出力される。繰り返し回数などのデータを変更する場合、巻末付録 B.1、B.3 に示した方法で PARAMETER ファイルなどを変更する必要がある。

2.4  $C_{60}$  内包時のエネルギー

表 1: エネルギーの収束値と半径との関係

| $C_h$   | 2N   | 半径 [nm] | エネルギーの収束値 [eV]        |                       |            |                 |
|---------|------|---------|-----------------------|-----------------------|------------|-----------------|
|         |      |         | 差 /atm.               | 差                     | チューブ単体     | $C_{60}$ 内包チューブ |
| (12,2)  | 748  | 0.513   | —                     | —                     | —          | —               |
| (10,5)  | 1040 | 0.517   | —                     | —                     | —          | —               |
| (11,4)  | 724  | 0.527   | $-1.2 \times 10^2$    | $-8.7 \times 10^4$    | -5235.7893 | -5521.9406      |
| (13,1)  | 792  | 0.530   | $-8.6 \times 10^1$    | $-6.8 \times 10^4$    | -5301.1831 | -5618.5516      |
| (12,3)  | 900  | 0.538   | $-8.5 \times 10^1$    | $-7.7 \times 10^4$    | -6089.7615 | -6408.1745      |
| (9,7)   | 832  | 0.544   | $-3.6 \times 10^{-1}$ | $-3.0 \times 10^2$    | -5595.5523 | -5999.3609      |
| (14,1)  | 904  | 0.569   | $-2.6 \times 10^{-1}$ | $-2.4 \times 10^2$    | -6113.5482 | -6517.3629      |
| (9,8)   | 928  | 0.577   | $-3.0 \times 10^{-4}$ | $-2.8 \times 10^{-1}$ | -6360.7947 | -6704.6110      |
| (10,7)  | 936  | 0.579   | $-3.0 \times 10^{-4}$ | $-2.8 \times 10^{-1}$ | -6360.0619 | -6763.8782      |
| (15,1)  | 1024 | 0.608   | $-2.4 \times 10^{-3}$ | $-2.5 \times 10^1$    | -6996.3288 | -7400.1431      |
| (9,9)   | 780  | 0.610   | $-6.2 \times 10^{-4}$ | $-4.8 \times 10^{-1}$ | -5215.5141 | -5619.3301      |
| (11,7)  | 1048 | 0.615   | $-2.2 \times 10^{-4}$ | $-2.3 \times 10^{-1}$ | -7178.8718 | -7582.6883      |
| (15,2)  | 1096 | 0.630   | $6.0 \times 10^{-5}$  | $6.6 \times 10^{-2}$  | -7524.1282 | -7927.9448      |
| (10,9)  | 1144 | 0.644   | $-1.5 \times 10^{-8}$ | $-1.7 \times 10^{-5}$ | -7888.8742 | -8292.6908      |
| (11,8)  | 1152 | 0.647   | $6.0 \times 10^{-9}$  | $6.9 \times 10^{-6}$  | -7948.1378 | -8351.9544      |
| (12,7)  | 1168 | 0.651   | $-7.6 \times 10^{-8}$ | $-8.9 \times 10^{-5}$ | -8061.6762 | -8465.4929      |
| (10,10) | 860  | 0.678   | $1.9 \times 10^{-8}$  | $1.6 \times 10^{-5}$  | -5800.4069 | -6204.2236      |
| (12,9)  | 1392 | 0.714   | $1.1 \times 10^{-9}$  | $1.5 \times 10^{-6}$  | -9703.9321 | -10107.7488     |
| (18,2)  | 788  | 0.747   | $9.2 \times 10^{-9}$  | $7.2 \times 10^{-6}$  | -5244.9578 | -5648.7744      |
| (18,4)  | 884  | 0.795   | $5.3 \times 10^{-9}$  | $4.7 \times 10^{-6}$  | -5945.5268 | -6349.3435      |
| (20,2)  | 1244 | 0.825   | $1.4 \times 10^{-8}$  | $1.7 \times 10^{-5}$  | -8602.0991 | -9005.9157      |
| (18,6)  | 996  | 0.847   | $-1.4 \times 10^{-8}$ | $-1.4 \times 10^{-5}$ | -6764.3625 | -7168.1791      |
| (14,12) | 1076 | 0.882   | $1.7 \times 10^{-9}$  | $1.8 \times 10^{-6}$  | -7365.8599 | -7769.6766      |

 $C_{60}$  の半径 : 約 0.36 [nm] $C_{60}$  のエネルギー収束値 : -403.8166[eV]

表 1 に  $C_{60}$  内包ナノチューブを構造最適化したときの半径とそのときの系のエネルギー (ポテンシャルエネルギー + 運動エネルギー) の収束値の関係を示す。

図 2.13 に原子 1 個あたりのエネルギー (単体、内包各チューブのエネルギー収束値を  $2N$  で割ったもの) と半径の関係をグラフにあらわす。図中丸い点で表したものが (単体チューブ + 単体  $C_{60}$ ) の最適化後のエネルギー、星印で示したものが ( $C_{60}$  内包チューブ) の最適化後のエネルギーの値である。

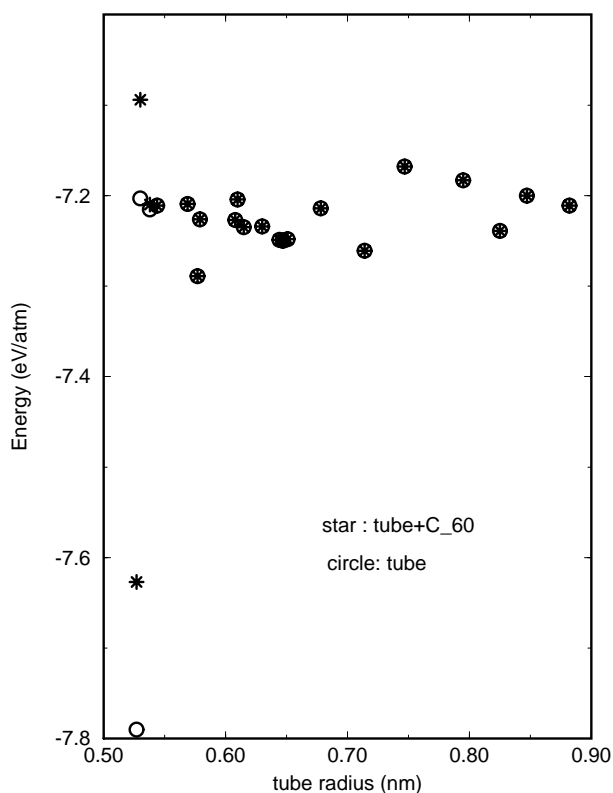


図 2.13 原子 1 個あたりのエネルギーと半径の関係<sup>2</sup>

この計算では、 $C_{60}$  を内包しているチューブのエネルギー収束値とチューブ単体のエネルギー収束値、 $C_{60}$  のエネルギー収束値をたしたものとを比較してそのエネルギーの差  $\Delta E$  をとったものである。

$$(n,n)\text{tube} + C_{60} \rightarrow C_{60}@ (n,n) - \Delta E$$

この  $\Delta E$  が大きいほどカーボンナノチューブが  $C_{60}$  を内包したときの方がチューブ単体のときよりもエネルギーが得、つまり安定した構造である、ということが言える。図 2.14 に  $\Delta E$  と半径の関係を示す。

<sup>2</sup>図 2.13 = u00naka/eps/c60eng5.eps

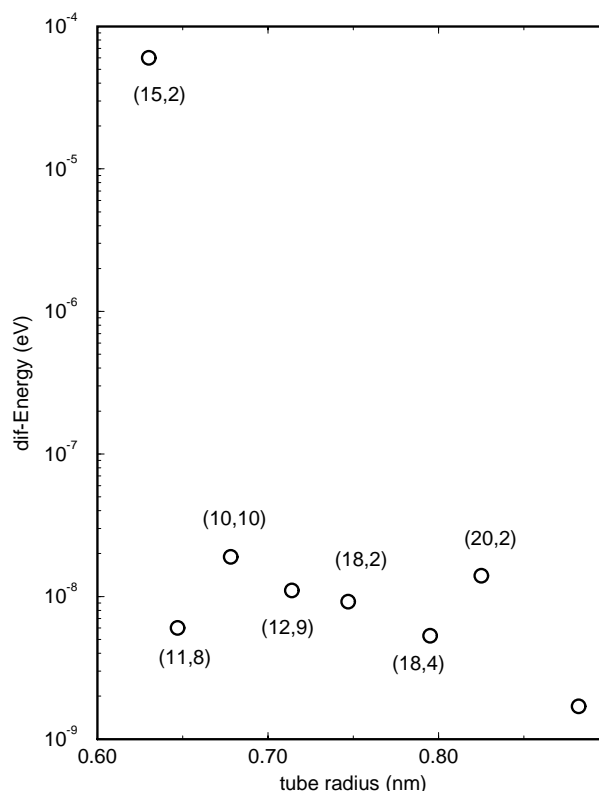


図 2.14  $C_{60}$  内包 SWNT のエネルギーの差と半径の関係<sup>3</sup>

図 2.13 から、外チューブの半径が 0.526 [nm] から 0.538 [nm] の間、カイラルベクトル (11,4), (13,1), (12,3) のものでは明らかにエネルギーが損をしている。これらのチューブと内包  $C_{60}$  との間隔はおおよそ 0.158 [nm] から 0.178 [nm] となっている。図 2.14 からチューブ径 0.63 [nm]、(15,2) チューブで  $C_{60}@$ (15,2) と (15,2) tube +  $C_{60}$  のエネルギー差が最大、得をしている。つまり  $C_{60}$  をチューブ内に取り込みやすいといえる。これよりチューブ径が大きくなるにつれ、このエネルギーの差は小さくなっていく。(15,2) チューブの  $C_{60}$  とチューブ内壁間の距離はおおよそ 0.270 [nm] であり、この距離が小さすぎると  $C_{60}$  はチューブ内に取り込まれにくく、また大きすぎてもエネルギー差が限りなく 0 に近づき、構造最適化を行なってもチューブ、 $C_{60}$  それぞれが互いに無関係な振る舞いをしてしまうものと考えられる。

また、チューブの半径 0.526 [nm]、カイラルベクトル (11,4) より小さいものでは、内包  $C_{60}$  分子が外チューブの分子と結合してしまい、最適化することができなくなってしまう (図 2.15)。

<sup>3</sup>図 2.14 = u00naka/eps/c60eng10.eps

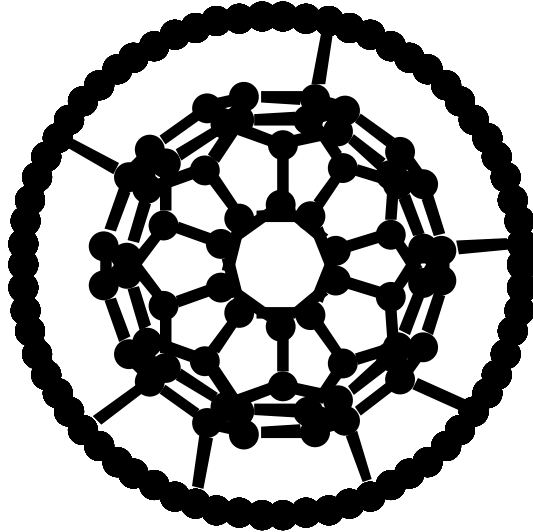


図 2.15  $C_{60}@10,5$  チューブ<sup>4</sup>

次ページに SWNT の x-mol 像を掲載する。

---

<sup>4</sup>図 2.15 = u00naka/eps/tube105.eps

2.4.1  $C_{60}$  内包 SWNT

この章で計算した  $C_{60}$  内包 SWNT の x-mol 像をここに掲載する。

† 構造最適化実行前 †

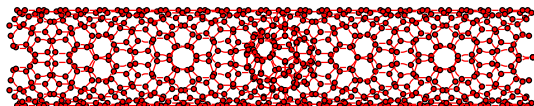


図 2.16 (12,2) 原子数 748<sup>5</sup>

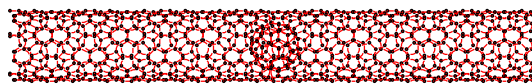


図 2.17 (10,5) 原子数 1040<sup>6</sup>

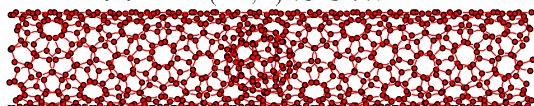


図 2.18 (11,4) 原子数 724<sup>7</sup>

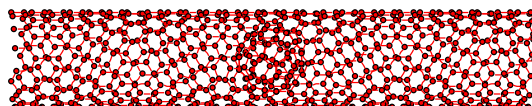


図 2.19 (13,1) 原子数 1,036<sup>8</sup>

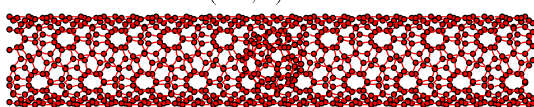


図 2.20 (12,3) 原子数 900<sup>9</sup>

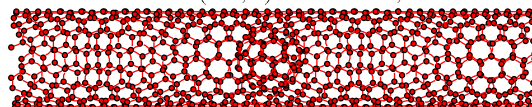


図 2.21 (9,7) 原子数 832<sup>10</sup>

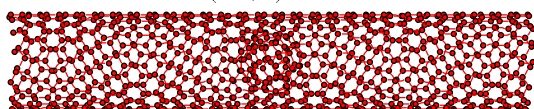


図 2.22 (14,1) 原子数 904<sup>11</sup>

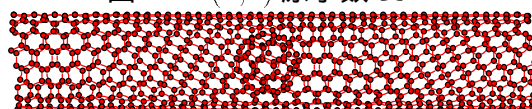


図 2.23 (9,8) 原子数 928<sup>12</sup>

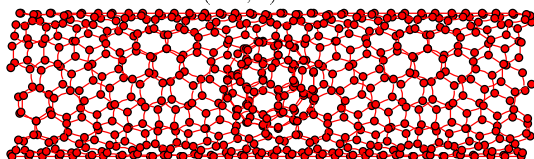


図 2.24 (10,7) 原子数 936<sup>13</sup>

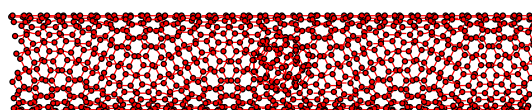


図 2.25 (15,1) 原子数 1,024<sup>14</sup>

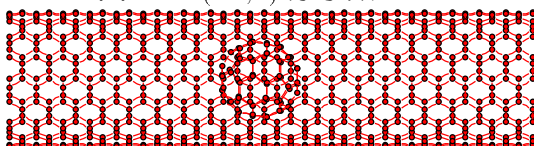


図 2.26 (9,9) 原子数 780<sup>15</sup>

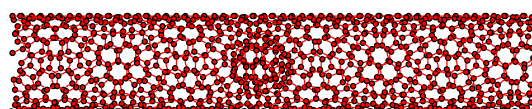


図 2.27 (11,7) 原子数 1,048<sup>16</sup>

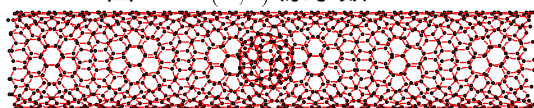


図 2.28 (15,2) 原子数 1,096<sup>17</sup>

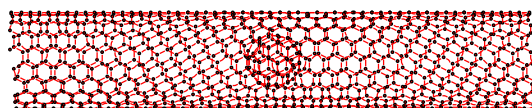


図 2.29 (10,9) 原子数 1,144<sup>18</sup>

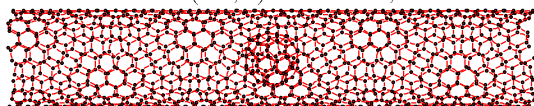


図 2.30 (11,8) 原子数 1,152<sup>19</sup>

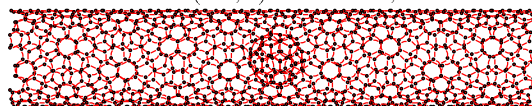
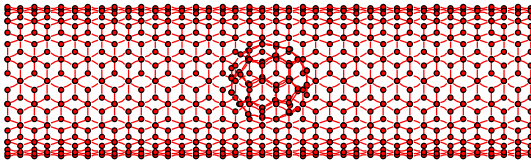
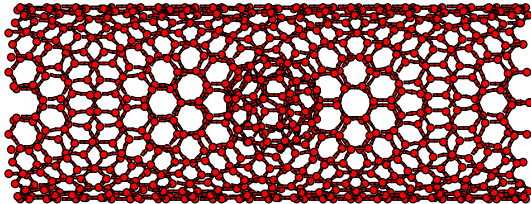
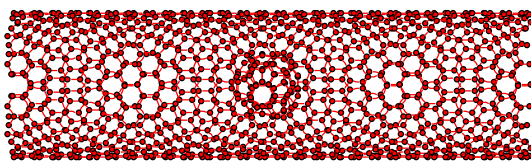
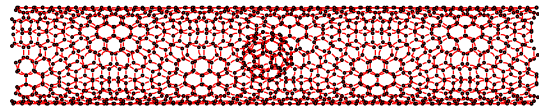
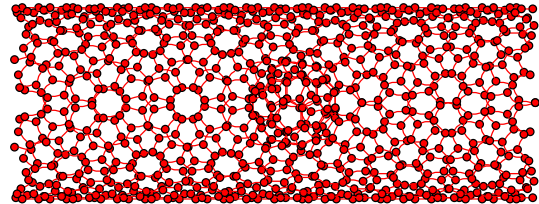
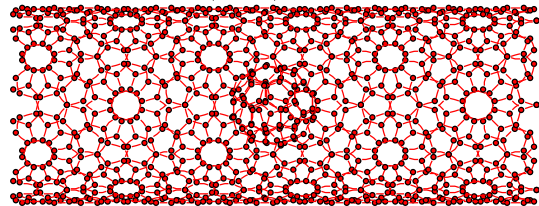
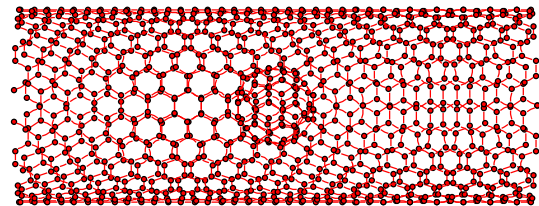
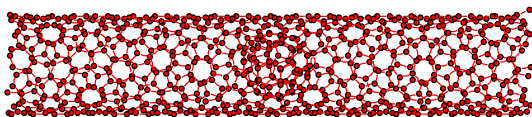
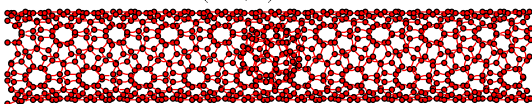
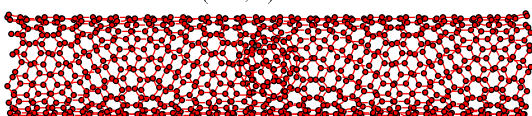
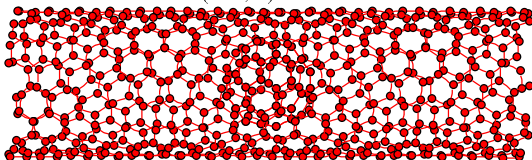
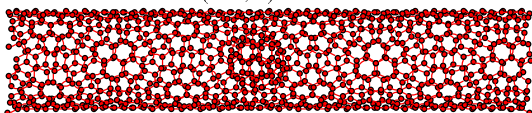
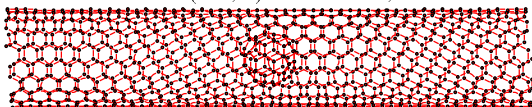
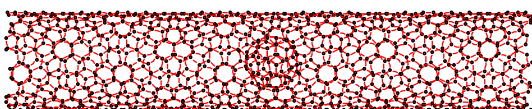
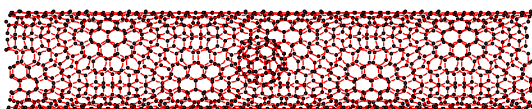
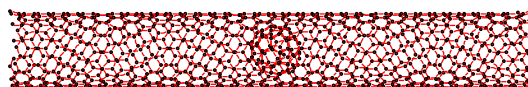
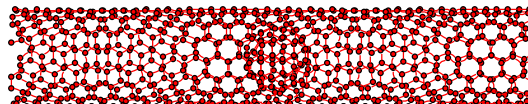
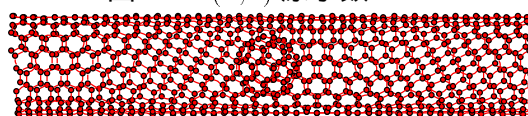
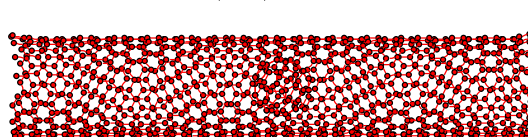
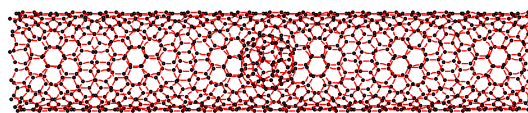
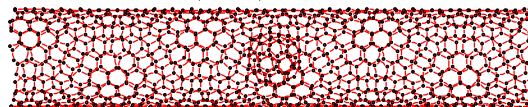
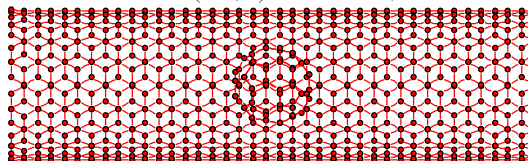
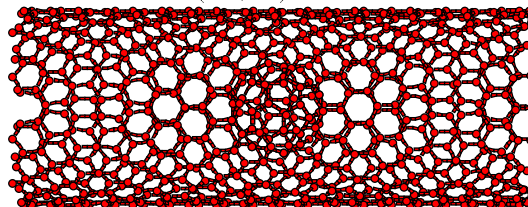
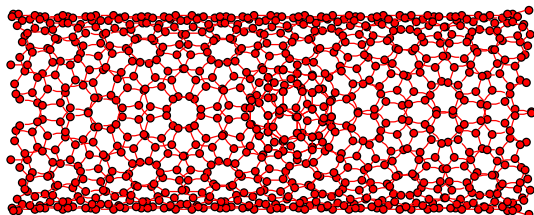
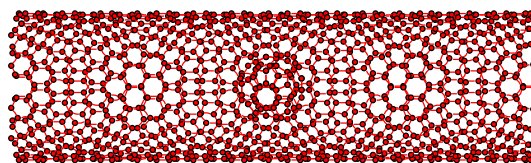
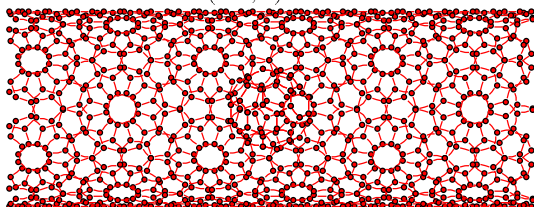
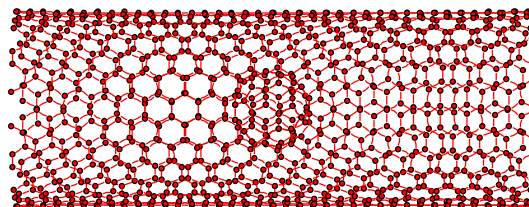


図 2.31 (12,7) 原子数 1,168<sup>20</sup>

図 2.32 (10,10) 原子数 860<sup>21</sup>図 2.34 (18,2) 原子数 788<sup>23</sup>図 2.36 (20,2) 原子数 1,244<sup>25</sup>図 2.33 (12,9) 原子数 1,392<sup>22</sup>図 2.35 (18,4) 原子数 884<sup>24</sup>図 2.37 (18,6) 原子数 996<sup>26</sup>図 2.38 (14,12) 原子数 1,076<sup>27</sup><sup>5</sup>図 2.16 = u00naka/eps/122.eps<sup>6</sup>図 2.17 = u00naka/eps/105.eps<sup>7</sup>図 2.18 = u00naka/eps/114.eps<sup>8</sup>図 2.19 = u00naka/eps/131.eps<sup>9</sup>図 2.20 = u00naka/eps/123.eps<sup>10</sup>図 2.21 = u00naka/eps/97.eps<sup>11</sup>図 2.22 = u00naka/eps/141.eps<sup>12</sup>図 2.23 = u00naka/eps/98.eps<sup>13</sup>図 2.24 = u00naka/eps/107.eps<sup>14</sup>図 2.25 = u00naka/eps/151.eps<sup>15</sup>図 2.26 = u00naka/eps/99.eps<sup>16</sup>図 2.27 = u00naka/eps/117.eps<sup>17</sup>図 2.28 = u00naka/eps/152.eps<sup>18</sup>図 2.29 = u00naka/eps/109.eps<sup>19</sup>図 2.30 = u00naka/eps/118.eps<sup>20</sup>図 2.31 = u00naka/eps/127.eps<sup>21</sup>図 2.32 = u00naka/eps/1010.eps<sup>22</sup>図 2.33 = u00naka/eps/129.eps<sup>23</sup>図 2.34 = u00naka/eps/182.eps<sup>24</sup>図 2.35 = u00naka/eps/184.eps<sup>25</sup>図 2.36 = u00naka/eps/202.eps<sup>26</sup>図 2.37 = u00naka/eps/186.eps<sup>27</sup>図 2.38 = u00naka/eps/1412.eps

† 構造最適化実行後 †

図 2.39 (11,4) 原子数 724<sup>28</sup>図 2.41 (12,3) 原子数 900<sup>30</sup>図 2.43 (14,1) 原子数 904<sup>32</sup>図 2.45 (10,7) 原子数 936<sup>34</sup>図 2.47 (11,7) 原子数 1,048<sup>36</sup>図 2.49 (10,9) 原子数 1,144<sup>38</sup>図 2.51 (12,7) 原子数 1,168<sup>40</sup>図 2.53 (12,9) 原子数 1,392<sup>42</sup>図 2.40 (13,1) 原子数 1,036<sup>29</sup>図 2.42 (9,7) 原子数 832<sup>31</sup>図 2.44 (9,8) 原子数 928<sup>33</sup>図 2.46 (15,1) 原子数 1,024<sup>35</sup>図 2.48 (15,2) 原子数 1,096<sup>37</sup>図 2.50 (11,8) 原子数 1,152<sup>39</sup>図 2.52 (10,10) 原子数 860<sup>41</sup>図 2.54 (18,2) 原子数 788<sup>43</sup>

図 2.55 (18,4) 原子数 884<sup>44</sup>図 2.56 (20,2) 原子数 1,244<sup>45</sup>図 2.57 (18,6) 原子数 996<sup>46</sup>図 2.58 (14,12) 原子数 1,076<sup>47</sup>


---

<sup>28</sup>図 2.39 = u00naka/eps/k114.eps

<sup>29</sup>図 2.40 = u00naka/eps/k131.eps

<sup>30</sup>図 2.41 = u00naka/eps/k123.eps

<sup>31</sup>図 2.42 = u00naka/eps/k97.eps

<sup>32</sup>図 2.43 = u00naka/eps/k141.eps

<sup>33</sup>図 2.44 = u00naka/eps/k98.eps

<sup>34</sup>図 2.45 = u00naka/eps/k107.eps

<sup>35</sup>図 2.46 = u00naka/eps/k151.eps

<sup>36</sup>図 2.47 = u00naka/eps/k117.eps

<sup>37</sup>図 2.48 = u00naka/eps/k152.eps

<sup>38</sup>図 2.49 = u00naka/eps/k109.eps

<sup>39</sup>図 2.50 = u00naka/eps/k118.eps

<sup>40</sup>図 2.51 = u00naka/eps/k127.eps

<sup>41</sup>図 2.52 = u00naka/eps/k1010.eps

<sup>42</sup>図 2.53 = u00naka/eps/k129.eps

<sup>43</sup>図 2.54 = u00naka/eps/k182.eps

<sup>44</sup>図 2.55 = u00naka/eps/k184.eps

<sup>45</sup>図 2.56 = u00naka/eps/k202.eps

<sup>46</sup>図 2.57 = u00naka/eps/k186.eps

<sup>47</sup>図 2.58 = u00naka/eps/k1412.eps

## 第 3 章

### 温度を考慮した構造最適化

Jelemy Sloan らは 1998 年後半、ハロゲン金属触媒下において電子線の照射により内包フラレンが破壊及び重合することを実験から確認している。もっと最近では単に温度を上昇させることによっても同様のことが起きることが確認されている。[14] そこで今までの構造最適化プログラムを任意の温度を設定することができるように改良し、それを用いて内包フラレンが破壊、重合していく様子を観察する。

#### 3.1 温度設定プログラム

このプログラムをつくる際の考え方を説明する。

原子一つがもっている速度エネルギーの平均  $[\frac{1}{2}mv^2]$  はボルツマン定数  $[k_B]$  とその速度での絶対温度  $[T]$  との積に等しいから、

$$\frac{1}{2}mv^2 = \frac{3}{2}k_B T = \frac{3}{2}Nk_B T \quad (\text{原子 } N \text{ 個より}) \quad (3.1.1)$$

$$\left( \begin{array}{l} k_B : \text{ボルツマン定数[J/K]} \\ T : \text{その速度での絶対温度[K]} \\ m : \text{炭素の質量[Kg]} \end{array} \right) \quad (3.1.2)$$

これより

$$T = \frac{mv^2}{3Nk_B} \quad (3.1.3)$$

ここで、この速度がもっていると期待される絶対温度  $T_1$  [K] は

$$T_1 = \frac{\frac{1}{2}m \sum_{i=1}^{3N} v_i^2}{\frac{3}{2}Nk_B} = \frac{m \sum_{i=1}^{3N} v_i^2}{3Nk_B} \quad (3.1.4)$$

いま、任意に  $T$  を与えることによって原子の速度  $v_i$  が  $\alpha$  倍に変化する。 $(v_i \rightarrow \alpha v_i)$   
この変化の割合を  $\alpha$  とすると、

$$\alpha^2 = \frac{T}{T_1} = \frac{3Nk_B T}{m \sum_{i=1}^{3N} v_i^2} \quad (3.1.5)$$

$$\alpha = \sqrt{\frac{3Nk_B T}{m \sum_{i=1}^{3N} v_i^2}} \quad (3.1.6)$$

この  $\alpha$  をプログラム中に組み込み、温度の変数を与えることができるようにする。  
全プログラムソースは巻末付録 Bとして掲載した。

各定数表

|         |                         |                        |
|---------|-------------------------|------------------------|
| ボルツマン定数 | $k_B$ [J/K]             | $1.38 \times 10^{-23}$ |
| 炭素の質量   | $m$ [kg]                | $1.99 \times 10^{-26}$ |
|         | $\sqrt{\frac{3k_B}{m}}$ | $2.08 \times 10^{-7}$  |

† プログラムソース (抜粋)†

c 温度入力

c

c

```
VV2 = 0.0
```

```
VV21 = 0.0
```

```
DO J = 180*B+1 , N*3
```

```
VV2 = VV2 + VELO(J)**2
```

```
END DO
```

```
DO J = 1 , 180*B
```

```

VV21 = VV21 + VELO(J)**2
END DO

WRITE(*,*) 'N', N
c VV2 の画面表示 (表示させると処理が遅くなる。 )
WRITE(*,*) 'VV2', VV2
c
c ALPHA=SQRT(3*N*Kb*T/m*VV2)
c   =SQRT(3*N*1.38D-23*T/1.99D-26*VV2)
c   =SQRT(2.08D3*N*T/VV2)
c   m/s と A/fs を比較して、係数を 10D-10 倍する。
c
ALPHA = SQRT(2.08D-7*REAL(N)*H/VV2)
c H = temperature(画面から読み込み。 )
DO J = 1 , N*3
VELO(J) = ALPHA*VELO(J)
END DO

c ALPHA の画面表示
WRITE(*,*) 'ALPHA', ALPHA
TEMP1 = 0.48D7*VV2*ALPHA1/REAL(N-60*B)
TEMP2 = 0.48D7*VV21*ALPHA2/REAL(60*B)
WRITE(*,*) 'TEMP=', TEMP1, TEMP2

```

### 3.2 プログラムの実行

このプログラムを実行する。ホストコンピュータは *wire* を用いる。(高速演算が可能。) まず、プログラムをコンパイルする。コマンドラインで

```
% f77 md5temp5.f
```

と打ち込むとコンパイルされ、実行可能ファイル

*a.out*

が出来上がる。実行には、チューブ座標のファイル (*tube.xyz*) が必要である。(チューブ座標の作り方は巻末付録 A に掲載。)

コマンドラインで

```
% a.out tube.xyz
```

と打ち込むと繰り返し回数、 $C_{60}$ 、*tube* それぞれの設定温度、内包  $C_{60}$  の個数、温度入力の間隔、

を聞いてくるのでそれぞれを入力し、計算が開始される。

### 3.3 温度入力時の $C_{60}$ 内包チューブの変化

様々なカイラルベクトルの  $C_{60}$  内包チューブを任意の温度を設定して構造最適化したときの形状の変化について観察した。

#### 3.3.1 (10,10) チューブの温度設定

まずカイラルベクトル (10,10) のチューブ、(半径 0.678 [nm]、原子数 880 個) を 1,000K ずつ温度を上げていった。繰り返し回数はいずれも 200 回。

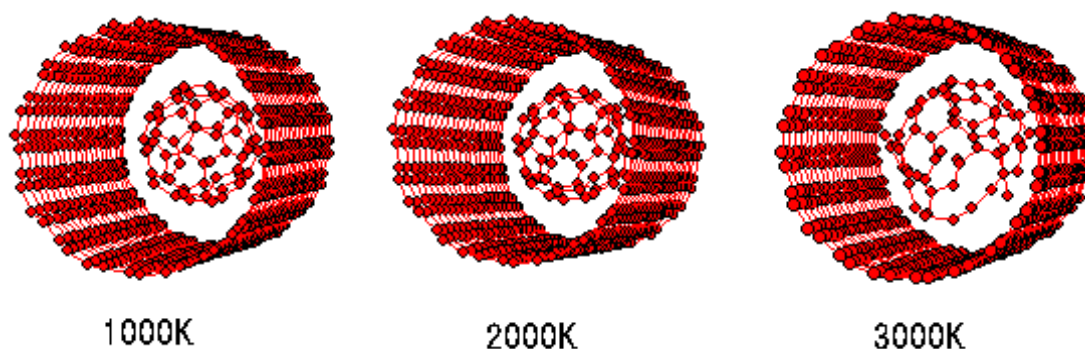
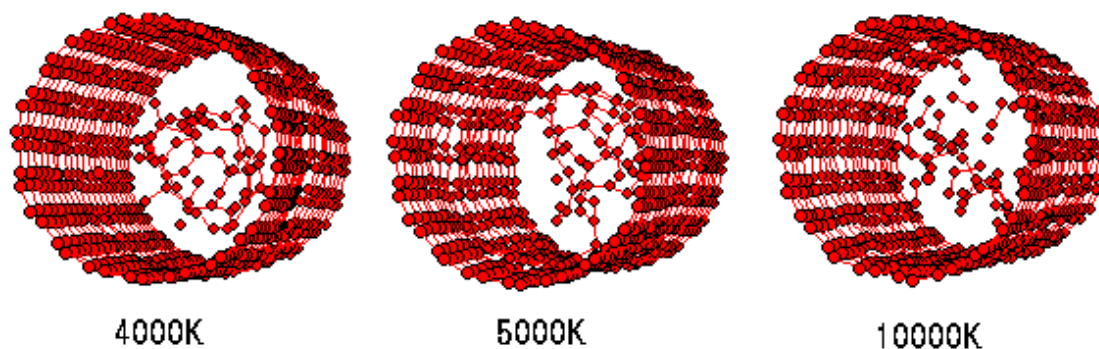
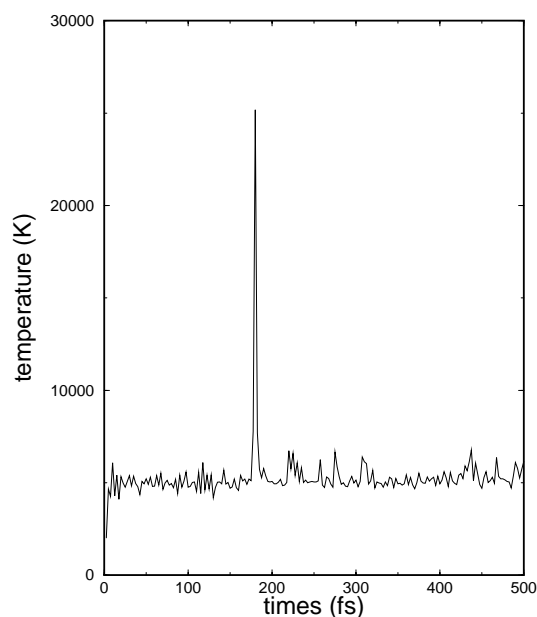


図 3.59 (10,10) チューブの温度入力時の変化 <sup>1</sup>

<sup>1</sup>図 3.59 = u00naka/ps/1010-a.ps

図 3.60 (10,10) チューブの温度入力時の変化<sup>2</sup>

この結果 3,000K を過ぎると、内包  $C_{60}$  分子が破壊していく様子を見ることができた。この時、構造最適化のプロセスは 200 回 (500[fs]) で行なっているのだが、設定温度 3,000K の場合最適化 40 回目 (100[fs]) を過ぎた頃から内包分子の破壊が始まった。図 3.61 に最適化時の回数と温度の変化グラフを示す。この図より、内包分子が崩壊したとき急激に温度が上昇していることが分かった。図中 250[fs] あたりの上昇がそれに当たる。参照 3.3.2

図 3.61 (10,10) チューブ、設定温度 3,000K での温度グラフ<sup>3</sup>

ここで、先述の (10,10) チューブについて、2,000K から 3,000K までの間のチューブの形状変化を 100K ごとに上昇させ、観察した。

結果 2,400K を越えた頃から内包分子の破壊が始まることを確認した。

<sup>2</sup>図 3.60 = u00naka/ps/1010-b.ps

<sup>3</sup>図 3.61 = u00naka/eps/10103k-xvgr.eps

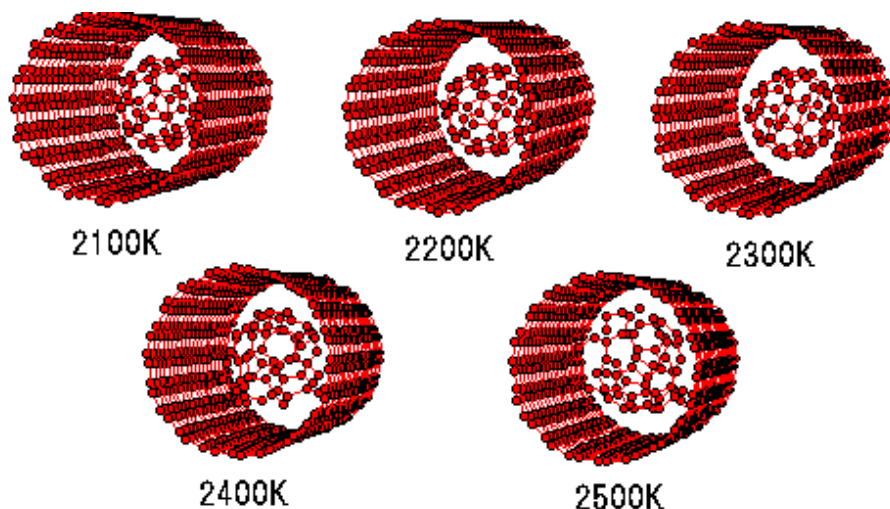


図 3.62 100K ずつ温度を上昇させたときの (10,10) チューブ<sup>4</sup>

### 3.3.2 温度入力グラフ

章 3.3.1 で計算した  $C_{60}@ (10,10)$  の温度設定時の回数における温度の変化をプロットしたグラフをここに掲載する。2,300[K] までのものについては  $C_{60}$  の崩壊はみられなかった。

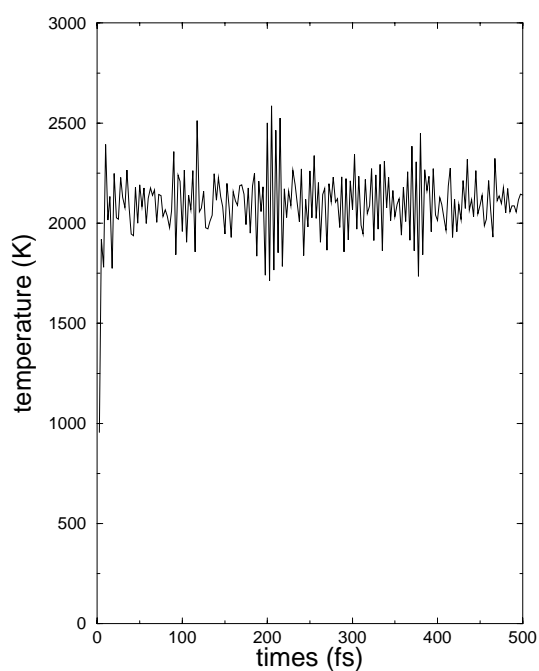


図 3.63 (10,10) 2100(K)<sup>5</sup>

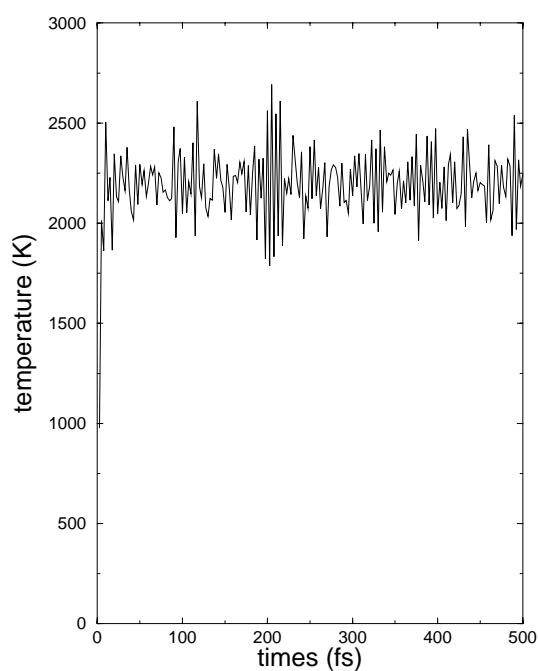
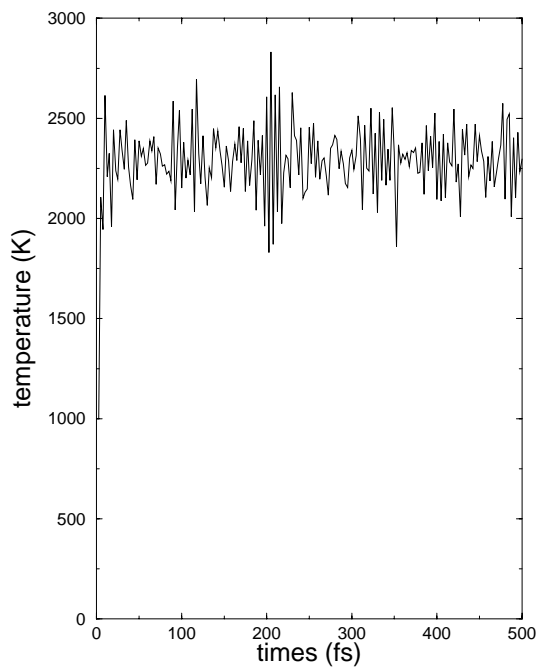
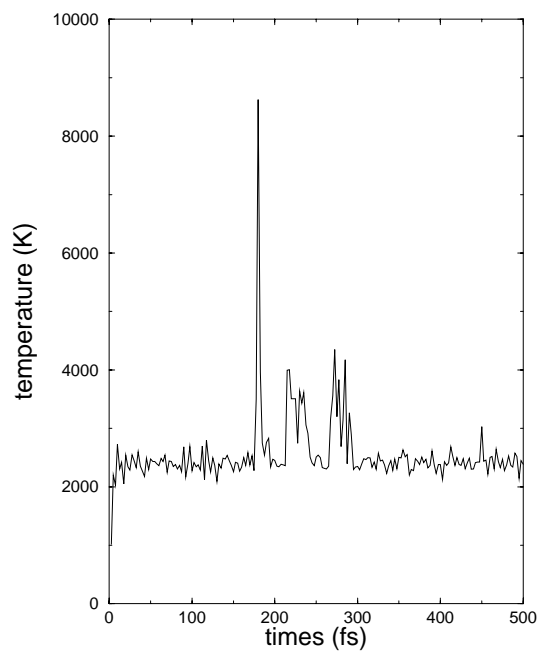
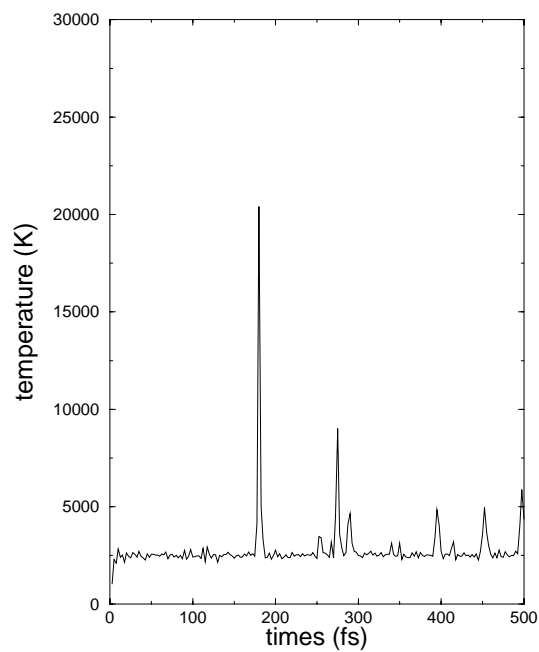


図 3.64 (10,10) 2200(K)<sup>6</sup>

<sup>4</sup>図 3.62 = u00naka/ps/1010ondo.ps

<sup>5</sup>図 3.63 = u00naka/eps/1010-2100.eps

<sup>6</sup>図 3.64 = u00naka/eps/1010-2200.eps

図 3.65 (10,10) 2300(K)<sup>7</sup>図 3.66 (10,10) 2400(K)<sup>8</sup>図 3.67 (10,10) 2500(K)<sup>9</sup>

---

<sup>7</sup>図 3.65 = u00naka/eps/1010-2300.eps

<sup>8</sup>図 3.66 = u00naka/eps/1010-2400.eps

<sup>9</sup>図 3.67 = u00naka/eps/1010-2500.eps

### 3.3.3 $C_{60}$ を複数個内包した (10,10) チューブ

先の計算では、(10,10) チューブに  $C_{60}$  を一個内包したものの温度入力、構造最適化を行なったが、次に  $C_{60}$  を複数個内包したものについて同様のシミュレーションをおこなった。

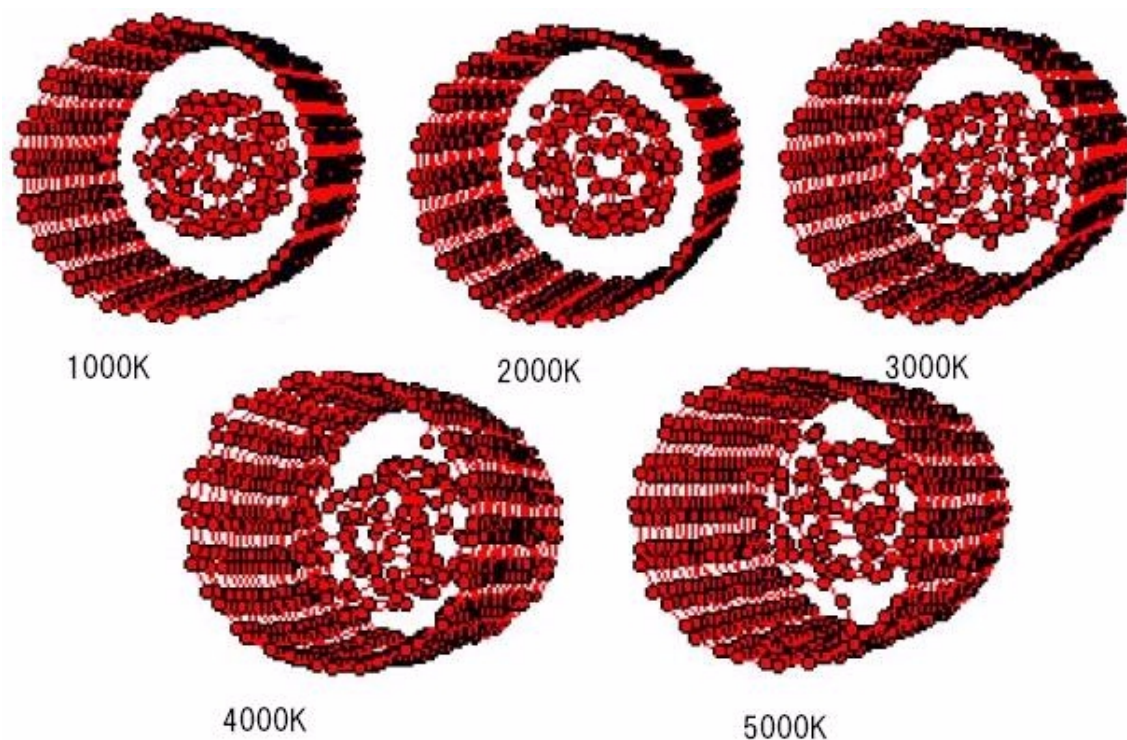


図 3.68  $C_{60} \times 2(10,10)$  チューブ<sup>10</sup>

この結果、設定温度 2,000K ですでに内包  $C_{60}$  分子の破壊が始まっていた。

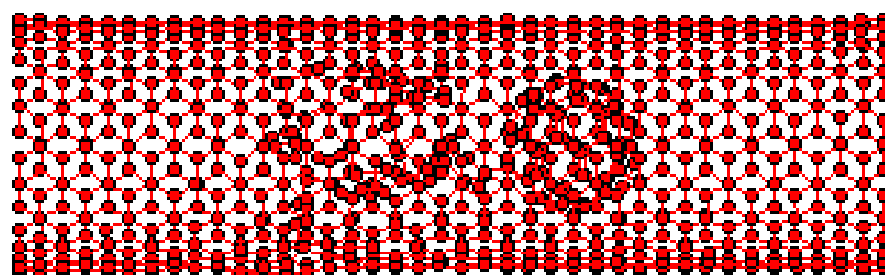


図 3.69  $C_{60} \times 2(10,10)$  チューブ

設定温度 5,000K<sup>11</sup>

<sup>10</sup>図 3.68 = u00naka/ps/1010a2-a.ps

<sup>11</sup>図 3.69 = u00naka/ps/1010a2-a5k.ps

$C_{60}$  を 2 個入れたときの壊れ方は  $z$  軸の 0 から遠い方の  $C_{60}$  分子がまず崩れていき、0 に近い方の  $C_{60}$  分子はその形状を保ったままということになった。

また、期待していた  $C_{60}$  同士の重合を確認することはできなかった。

この他  $C_{60}$  3 個から 5 個内包のものも温度を設定し計算をおこなった。いずれも内包  $C_{60}$  同士の間隔は 1[nm]、プログラムの繰り返しの回数は 200 回 で実行した。

結果、 $C_{60} \times 3@(10,10)$ 、 $C_{60} \times 4@(10,10)$  のフラレン内包チューブでは 2,000[K] から 4,000[K] の間で内包  $C_{60}$  の破壊が確認できた。 $C_{60} \times 5@(10,10)$  チューブでは繰り返し回数 200 回 (約 500[fs]) では内包  $C_{60}$  のみの破壊は見ることはできなかった。設定温度を上げていけば破壊することはするのだが、外チューブも一緒に壊れてしまう。プログラムの実行に時間をかければ (繰り返し 300 回、約 750[fs]) 内包  $C_{60}$  が破壊することが確認できた。ここでもまたフラレン同士の重合を確認することはできなかった。

| $C_{60} \times$ | $C_{60}$ が壊れた温度 [K] | そのときの壊れ方                         |
|-----------------|---------------------|----------------------------------|
| 3               | 4,000               | Z 軸の 0 より遠い方から                   |
| 4               | 2,000               | Z 軸 0 より遠い方から 2 番目から             |
| 5               |                     | 内包 $C_{60}$ の破壊は確認できず            |
| 5               | 6,000               | Z 軸 0 に近い方から 2 番目から (繰り返し 300 回) |

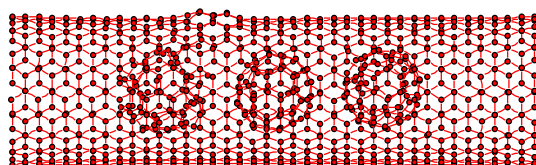


図 3.70  $C_{60} \times 3@(10,10)$   
4,000[K]<sup>12</sup>

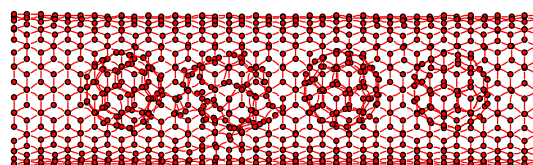


図 3.71  $C_{60} \times 4@(10,10)$   
3,000[K]<sup>13</sup>

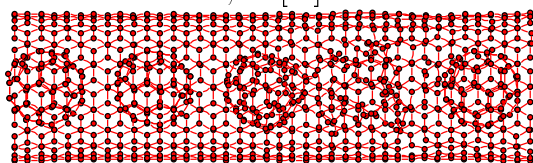


図 3.72  $C_{60} \times 5@(10,10)$   
6,000[K]<sup>14</sup>

<sup>7</sup>図 3.70 = u00naka/eps/1010a3-4k.eps

<sup>8</sup>図 3.71 = u00naka/eps/1010a4-3k.eps

<sup>9</sup>図 3.72 = u00naka/eps/1010a5-6k.eps

この他 (10,10) 以外の  $C_{60}$  内包チューブについても同様のシミュレーションをおこなった。結果、カイラルベクトル (11,4)、(半径 0.527[nm]) からカイラルベクトル (14,12)、(半径 0.882[nm]) までのチューブではその半径が大きくなるほど内包  $C_{60}$  が崩壊する温度は高くなっていく。これは外側の筒が大きいと内包分子が安定し、温度の変化による影響を受けにくいためと考えられる。また、半径の小さいチューブでは 3,000[K] 付近を越えるとチューブ全体が爆発した。これはやはりチューブ半径が小さいと安定構造がとれず、何かの拍子に原子間の結合が切れ、そのときの高温状態という条件も加わって、原子に急激に運動エネルギーが加わる (図 3.75)。それが連鎖的に反応し、全体の崩壊につながるのではないかと考える。

| チューブ半径 ( $c_h$ ) | $C_{60}$ が壊れた温度 [K] |
|------------------|---------------------|
| - 0.527 (11,4)   | 200 より小             |
| 0.530 (13,1) -   | 2,000 - 3,000       |
| 0.577 (9,8) -    | 3,000 - 5,000       |

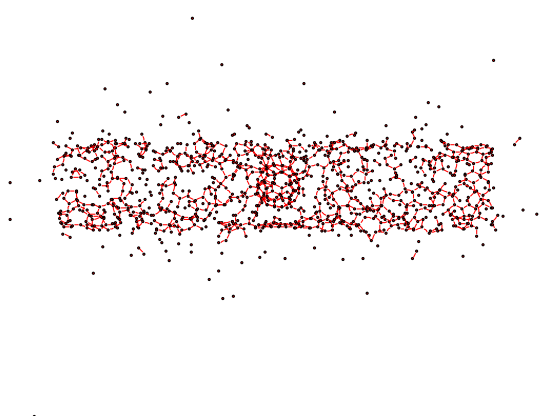


図 3.73  $C_{60}@C_{97}$  チューブ、4,000K  
での爆発<sup>15</sup>

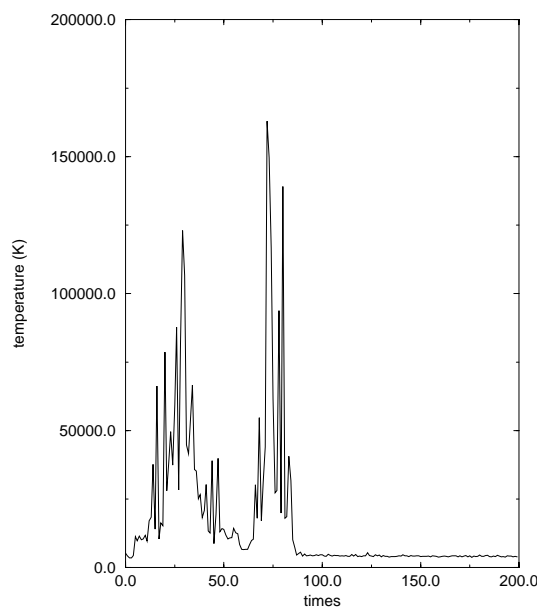


図 3.74 (9,7)、4,000K での温度グラフ<sup>16</sup>

<sup>15</sup>図 3.73 = u00naka/eps/b97.eps

<sup>16</sup>図 3.74 = u00naka/eps/974k-xvgr.eps

## 3.3.4 結果

改良した温度設定プログラムでは、設定温度を入力するとその温度を保つようになっている。例えるならサーモスタットのようなものである。一連のシミュレーションでは、内包  $C_{60}$  が崩れ始めるとき、一時的に温度が急激に上昇する。ということは、そのとき各原子の平均の速度 ( $V_i$ ) は急激に加速されている。(図 3.75) その結果、 $C_{60}$  の原子間の結合を破り破壊してしまう。これが半径の小さいチューブになると  $C_{60}$  が破壊すると同時に外チューブの原子の結合も壊れ、全体的に破裂してしまう。しかし、なぜ分子が崩れ始めるときに速度が急激に加速されるのかについての解明までには至らなかった。

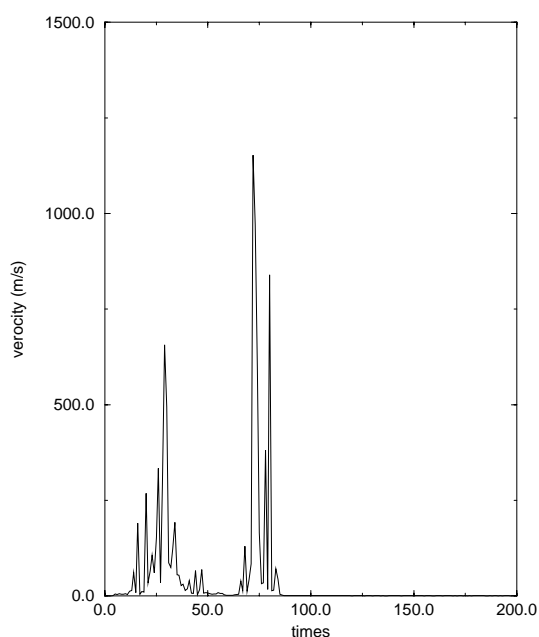


図 3.75 (9,7)、4,000K での  $V_i$  - 回数グラフ<sup>17</sup>

<sup>17</sup>図 3.75 = u00naka/eps/974k-vi.eps

## 第 4 章

### 結論

この研究では  $C_{60}$  内包 SWNT について、構造最適化プログラムを用いた安定構造の解析、またそのプログラムを改良し、任意の温度設定時の  $C_{60}$  内包 SWNT の内包分子の崩壊、重合について解析した。

その結果、以下の結論を得た。

1. カーボンナノチューブは半径 0.630 [nm]、(15,2) チューブ一番  $C_{60}$  分子を内側に取り込みやすい。
2. チューブ半径が小さすぎると SWNT は  $C_{60}$  を内側に取り込みにくい。しかしチューブ径が大きいためとって  $C_{60}$  を取り込みやすいともいえない。チューブ内壁と  $C_{60}$  との距離が鍵を握っている。
3.  $C_{60}$  内包カーボンナノチューブに任意の温度を与えると、内包  $C_{60}$  分子は崩れ、破壊していく。チューブ径が大きくなるにつれこの時の温度は高温である。

今回改良したプログラムでは内包  $C_{60}$  同士の重合を観察することはできなかった。 $C_{60}$  を内包したカーボンナノチューブの研究は歴史が浅く、発展段階にある。この研究ではほんの一部にだけ絞ったが、この分野での今後の発展に期待したい。

## 付録 A

### 各種ソフトの使い方

ここでは、ナノチューブ座標の作り方、座標から図を起こす方法 (`x-mol`)、グラフの書き方など、いろいろなソフトの使い方を説明する。全てのソフトは UNIX 上で使うことができる。

#### A.1 ナノチューブ座標の作り方

任意のカイラルベクトルを入力し、そのチューブの座標を作る方法。プロセスとして、「ユニットセルを作る」→「つなげる」という手順を踏む。

準備

- (A.1.1) `nakamura/for/tube/tube-xyz.f`
- (A.1.2) `nakamura/for/tube/nanbai.f`
- (A.1.3) `nakamura/for/tube/idou-x.f`
- (A.1.3) `nakamura/for/tube/idou-z.f`

をそれぞれ自分のディレクトリにコピーする。

† この時後々のことを考えて、同じように `/for/tube` というディレクトリを作っておくことをおすすめする。

## A.1.1 ユニットセルを作る

|          |            |
|----------|------------|
| 用いるプログラム | tube-xyz.f |
| 入力ファイル   | なし         |
| 出力ファイル   | tube.xyz   |

1. まず、このプログラムをコンパイル (実行可能な形に書き換える) する。コマンドラインで

```
f77 tube-xyz.f
```

と入力し、コンパイルをする。この時に出来上がったファイル

```
a.out
```

を使ってこのプログラムを実行する。

2. コマンドラインで a.out と打ち込むと、

カイヤルベクトル  $C_h =$

ときいてくるので、たとえば (10,10) を作りたいのであれば、数字と数字の間をスペースで区切り、

```
10 10
```

と入力する。すると半径や原子数などの情報が画面に表示され、出力ファイル

```
tube.xyz
```

に座標データが出力される。

## A.1.2 チューブをつなげる

|          |                  |
|----------|------------------|
| 用いるプログラム | nanbai.f         |
| 入力ファイル   | tube.xyz         |
| 出力ファイル   | nanbai-kekka.xyz |

1. まず、このプログラムをコンパイルする。前述のようにコマンドラインで

```
f77 nanbai.f
```

と入力し、コンパイルする。この時に出来上がったファイル

```
a.out
```

を使ってこのプログラムを実行する。

2. コマンドラインで a.out と打ち込むと、

チューブを何倍する? n=

と聞いてくるので、整数で打ち込む。

- 出力ファイル `nanbai-kekka.xyz` に何倍かされたチューブの座標が出力される。

### A.1.3 チューブ、又は $C_{60}$ を軸方向に移動する。

|          | X 軸方向                      | Z 軸方向                      |
|----------|----------------------------|----------------------------|
| 用いるプログラム | <code>idou-x.f</code>      | <code>idou-z.f</code>      |
| 入力ファイル   | <code>tube.xyz</code>      | <code>tube.xyz</code>      |
| 出力ファイル   | <code>tube-idox.xyz</code> | <code>tube-idoz.xyz</code> |

この操作を行うことによって、チューブ、 $C_{60}$  それぞれの軸方向に任意の距離だけ移動することができる。 $C_{60}$  内包チューブを作るときに内包  $C_{60}$  の位置を変えることができる。

このプログラムの実行、コンパイルは wire以外を用いること。

- まず、これらのプログラムをコンパイルする。前述のようにコマンドラインで

```
f77 idou-x.f
```

と入力し、コンパイルする。この時に出来上がったファイル

```
a.out
```

を使ってこのプログラムを実行する。

- コマンドラインで `a.out` と打ち込むと、  
`x` 方向にどれだけ動かす? `dx=`  
 と聞いてくるので、整数で打ち込む。

- 出力ファイル `tube-idox.xyz` に移動されたチューブの座標が出力される。

## A.2 x-mol の使い方

x-mol とは Research Equipment Inc. 及び dba Minnesota Supercomputer Center, Inc. が製作した分子描画ソフトである。各原子の座標を与えると、拡大、縮小、回転、が自由に行なえる。また、原子間距離や二角面を自動的に計算してくれる。さらにアニメーション形式のデータを与えれば原子の振動などの動画の表示も可能である。このソフトを使えば前述のチューブの座標データから図を起こすことができる。その方法をここで述べる。

このプログラムを実行するホストコンピュータは wire を用いることをおすすめする。(高速でデータ読み込み可能なため。)

### A.2.1 描画方法

1. コマンドラインで `xmol &` と打ち込む。すると下のような画面が現われる。

- この時エラーメッセージとともに画面が出てこない場合は出力ディスプレイを指定する必要がある。

– 例えば、ディスプレイ 14 に出力したい場合は

```
xmol -display 172.21.88.14:0.0
```

と入力する。

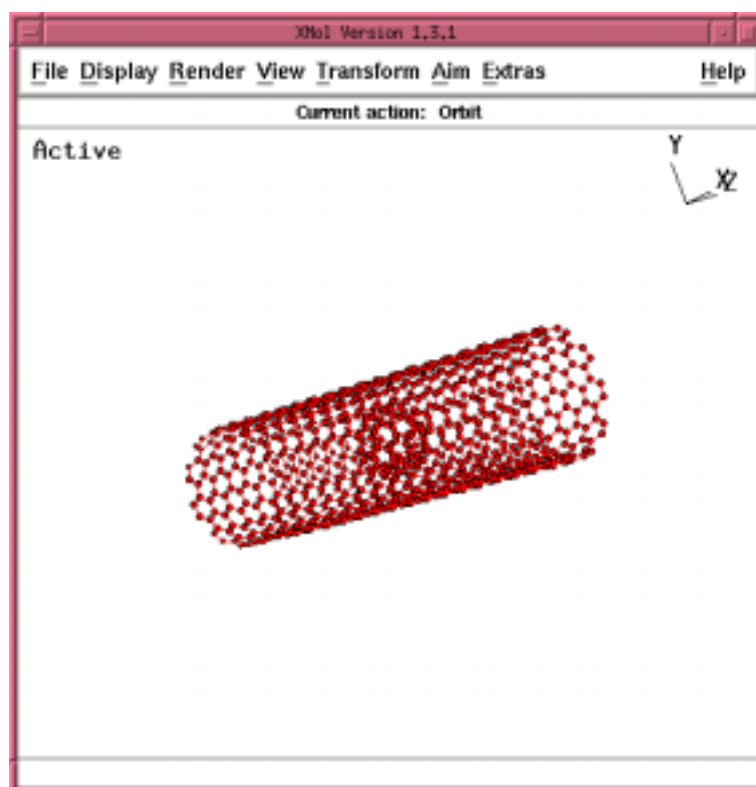


図 1.76 x-mol ファイル表示画面<sup>1</sup>

2. 画面が立ち上がったら、左上の FILE (READ) をクリックし、読み込みたいデータのファイル名を指定する。

### A.2.2 アニメーション表示

アニメーション表示に対応したデータを x-mol で見る場合、フレームを 1 コマずつ動かしてアニメーション表示することができる。

<sup>1</sup>図 1.76 = u00naka/ps/xmol.ps

アニメーション表示のデータとはあらゆる方向に動かした各座標データを同じファイルに順順に書き込んでいったものである。使い方は、表示させたいファイルを前述の方法で表示させたあと、画面右上 Extras → Animate を選択し、表示させる。  
(この時データ量が重いと数分かかる時があるので注意。)

### A.3 xvgr の使い方

xvgr というソフトを使って  $x,y$  平面のグラフを書き起こす方法を説明する。  
注) このプログラムを使用するホストコンピュータは wire 以外 を使用すること。

1. コマンドラインで xvgr & と打ち込む。すると下のような画面が現われる。

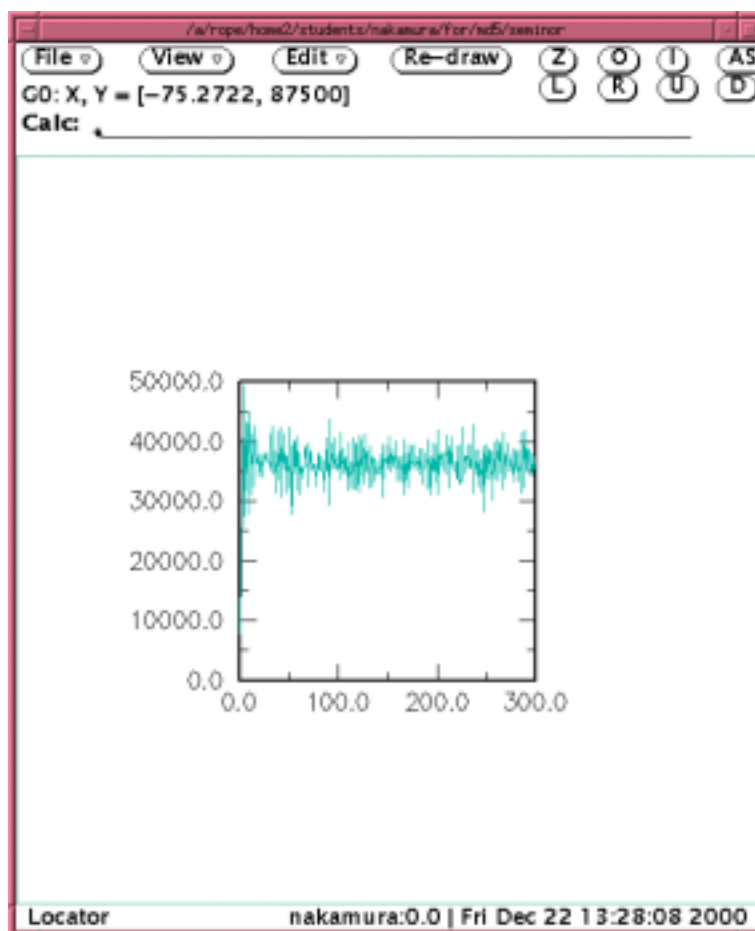


図 1.77 xvgr ファイル表示画面<sup>2</sup>

2. 左上の FILE を左クリックすると、ファイル選択の画面が現われるので表示させたいデータのファイルを選択する。

<sup>2</sup>図 1.77 = u00naka/ps/xvgr.ps

## 付録 B

### プログラムソース

この論文で作製、改良使用したプログラムソースを掲載する。

#### B.1 構造最適化プログラム

このプログラムは、炭素構造の3次元座標のファイルを読み込み、エネルギーの極小値を与える3次元座標を求め、標準出力に出力する。原子間ポテンシャルには、 Tersoff potential Lennard Jones potential を用いている、また最適化手法に共役勾配法と分子動力学的手法を用いる事ができる。

計算の繰り返し回数は 186 付近、

```
K = 0
DO 41 I = 1 , 2000
```

の 2000 を変える。

共役勾配法を用いる場合は、1109 付近、2 微分を計算するところがコメントになっているので、コメント指示を外し、また1次構造最適化をコメントアウトする。

```
DO 38 J = 1 , MAX_ATOM3
    DIFF2(0,J) = 0
    DD(J) = 0.0D0
38  CONTINUE

CALL CALC_DIFF2(N,ZAHYO,LIST,LIST2,KYORI,CUTOFF,DIFF2,DIFF2_DATA)
```

```

      CALL CALC_DIFF2_VDW
#      (N,ZAHYO,LIST_VDW,KYORI,CUTOFF,DIFF2,DIFF2_DATA)

      CALL CONJGRAD(N,ZAHYO,DIFF1,DIFF2,DIFF2_DATA)

C      DO 39 J = 1 , N*3
C          VELO(J) = VELO(J) + DIFF1(J) * CONV_VELO
C          ZAHYO(J) = ZAHYO(J) + VELO(J)
C          VELO(J) = VELO(J) * 0.9D0
C
C 39      CONTINUE

```

計算を実行するには

初期座標データ tube.xyz を用意して、

```
a.out tube.xyz > kekka.xyz
```

とする。このプログラムの出力データは、アニメーション表示に対応していない。  
 なお、このプログラムは次で述べる「温度を考慮した構造最適化プログラム」と重複  
 するのでソースは掲載しない。

### B.1.1 構造最適化プログラムの実行

nakamura/for/md5/pro 中にあるプログラム md5.f と PARAMETER を自分の  
 ディレクトリにコピーして使うこと。コンパイルの方法などは各セクションに記載し  
 てある。

## B.2 温度を考慮した構造最適化プログラム

任意の温度を入力し、その温度でナノチューブの構造最適化を実行するプログラム。  
 このプログラムでは、結果が出力されるファイルはあらかじめ決まっており (result.xyz)、  
 アニメーション表示に対応したデータが出力される。

```

c
c   Tersoff potential for Carbon system
c   (1998/Jun/8) By R.Hatsuo .
c   (2000/Nov/8) restored by T.Nakamura
c   入力ファイル .xyz 出力ファイル result.xyz
c   このプログラムは別枠のパラメーターファイルを必要とする。
c
c   温度を任意のステップごとに入力し、計算させるプログラム。
c

```

```

PROGRAM HD
INCLUDE 'PARAMETER'

C 原子座標の FILE 名変数
CHARACTER*50 FILENAME
CHARACTER*50 FILENAME2

C 原子数の保持変数
INTEGER N

C loop 用変数
INTEGER I,J,K

C 温度の変数 (k)
REAL*8 H,G
REAL*8 TEHP1
REAL*8 TEHP2

c 繰り返し変数 (steps)
INTEGER A,B,H

C ALPHA、VV2の宣言 vv2(2) 1: C60 2: nanotube
REAL*8 ALPHA1,ALPHA2
DIMENSION VV2(2)
REAL*8 VV2
REAL*8 SQR

C 座標用配列
REAL*8 ZAHYO(HAX_ATH3)
CHARACTER*8 AH(HAX_ATH)

C 近接リスト配列
REAL*8 LIST(O:HAX_LIST_N2,HAX_ATH)

C 第二近接リスト配列
REAL*8 LIST2(O:HAX_LIST2_N,HAX_ATH)

C 近接リスト配列
REAL*8 LIST_VDH(O:HAX_LIST_VN2,HAX_ATH)

C 近接データ配列 IDX でリストから参照される
REAL*8 KYORI(HAX_DATA_IDX)
REAL*8 CUTOFF(HAX_DATA_IDX)

REAL*8 DIFF1(HAX_ATH3)
REAL*8 VELO(HAX_ATH3)
REAL*8 DD(HAX_ATH3)

INTEGER DIFF2(O:HAX_DIFF2_LIST,HAX_ATH3)
REAL*8 DIFF2_DATA(HAX_DIFF2_LIST,HAX_ATH3)

C TERSOFF 関数の型
REAL*8 TERSOFF

C 系のエネルギー
REAL*8 ENERGY , ENERGY_VDH
INTEGER IDX

c itest = 1 debug

itest = 0

C FILE 名を取得する
CALL GETFILENAME(FILENAME)
open(STATUS='OLD',unit=20,file='tempmd.log')
write(20,25) FILENAME

25 format(a50)

C XYZ 座標を読み込む
CALL READ_ZAHYO(FILENAME, N, I,ZAHYO,AH)
write(*,*)'I = ',I
DO 29 J = 1 , HAX_ATH3
  VELO(J) = 0.0D0

29 CONTINUE

IDX = 0
CALL MAKE_LIST(N,ZAHYO,LIST,KYORI,CUTOFF,IDX)
CALL MAKE_LIST2(N,LIST,LIST2)

CALL MAKE_LIST_VDH(N,ZAHYO,LIST_VDH,KYORI,CUTOFF,IDX,LIST,
#LIST2,AH)

ENERGY = TERSOFF(N,ZAHYO,LIST,KYORI,CUTOFF)
ENERGY_VDH = VDH(N,ZAHYO,LIST_VDH,KYORI,CUTOFF)
ENERGY = ENERGY + ENERGY_VDH

WRITE(*,*)' 何回繰り返す? A='

```

```

READ(*,*) A
WRITE(*,*)'TEMPERATURE of C_60 (Real)? H(K)=?'
READ(*,*) H
WRITE(*,*)'TEMPERATURE of NANO (Real)? G(K)=?'
READ(*,*) G
WRITE(*,*)'H*3',H*3
WRITE(*,*)'C_60 幾つ入ってる B= ?'
READ(*,*) B
WRITE(*,*)' 何回ごとに温度入力 H= ?'
READ(*,*) H

K = 0
DO 41 I = 1 , A

write(*,*)'I=',I
C 近接リストを生成
  IDX = 0
  CALL MAKE_LIST(N,ZAHYO,LIST,KYORI,CUTOFF,IDX)

C 第二近接リストを生成
  CALL MAKE_LIST2(N,LIST,LIST2)

c  WRITE(*,*) IDX
c  WRITE(*,*) 'make_list_vdw'
  CALL MAKE_LIST_VDW(N,ZAHYO,LIST_VDW,KYORI,CUTOFF,IDX,LIST,
#LIST2,AN)

c  WRITE(*,*) IDX
c  WRITE(*,*) 'make_newkyori'
  CALL MAKE_NEWKYORI(N,ZAHYO,LIST,KYORI,CUTOFF)

c  WRITE(*,*) 'make_newkyoriv'
  CALL MAKE_NEWKYORIV(N,ZAHYO,LIST_VDW,KYORI,CUTOFF)

c  WRITE(*,*) 'calc_diff'
  CALL CALC_DIFF1(H,ZAHYO,LIST,KYORI,CUTOFF,DIFF1)

c  WRITE(*,*) 'calc_diff_vdw'
  CALL CALC_DIFF1_VDW(N,ZAHYO,LIST_VDW,KYORI,CUTOFF,DIFF1)

c  共役勾配法
c  DO 38 J = 1 , MAX_ATH3
c  DIFF2(0,J) = 0
c  DD(J) = 0.000
c 38 CONTINUE

c  CALL CALC_DIFF2(N,ZAHYO,LIST,LIST2,KYORI,CUTOFF,DIFF2,DIFF2_DATA)
c  CALL CALC_DIFF2_VDW
c  # (N,ZAHYO,LIST_VDW,KYORI,CUTOFF,DIFF2,DIFF2_DATA)

c  CALL CONJGRAD(N,ZAHYO,DIFF1,DIFF2,DIFF2_DATA)
c
c  分子動力学法
  DO 39 J = 1 , N*3
    VELO(J) = VELO(J) + DIFF1(J) * CONV_VELO
    ZAHYO(J) = ZAHYO(J) + VELO(J)

39 CONTINUE
ccc
c  温度入力
ccc
c
c  c_60 と nanotube を別けてそれぞれに温度を振り分ける。
c  読み込む ファイル の上から 60 番目までが c_60
c  JJ=1 C60, JJ=2 NANOTUBE
c  c_60
c
c  ここで H 回ごとにこのループに入るように条件 IF 文を書く。
c  IF 文と HOD 構文を用いる。
c
  IF (HOD(I,H).EQ.0) THEN

    JJ=1
    NNC60=60*B
    NNC603=NNC60*3
    VV2(JJ) = 0.0
    DO J = 1 , NNC603
      VV2(JJ) = VV2(JJ) + VELO(J)**2
    END DO
    WRITE(*,*)'VV2 OF C60 = ',VV2(JJ)

C
  ALPHA1 = SQRT(2.08D-7*REAL(NNC60)*H/VV2(JJ))
C  --- 計算から求めた alpha をここで入力する。 ---
C  ここでは C_60 用の入力画面。
C
  DO J = 1 , NNC603
    VELO(J) = ALPHA1*VELO(J)
  END DO
C
C 次は nanotube

```

```

C
  JJ=2
  VV2(JJ)=0.0
  DO J = NNC603+1 , N*3
  VV2(JJ) = VV2(JJ) + VELO(J)**2
  END DO
  WRITE(*,*)'VV2 of nanotube = ',VV2(JJ)
  ALPHA2 = SQRT(2.08D-7*REAL(N-NNC60)*G/VV2(JJ))
C
C    --- nanotube 用にここで alpha を入力する。 ---
C
  DO J = NNC603+1 , N*3
  VELO(J) = ALPHA2*VELO(J)
  END DO

C
C ALPHA=SQRT(3*N*Kb*T/m*VV2)
C =SQRT(3*N*1.38D-23*T/1.99D-26*VV2)
C =SQRT(2.08D3*H*T/VV2)
C m/s と Å/fs を比較して、係数を 10D-10 倍する。
C
C ALPHA の画面表示
  WRITE(*,*)'alpha1,2',alpha1,alpha2
  TEHP1 = 0.48D7*VV2(1)*ALPHA1/REAL(NNC60)
  TEHP2 = 0.48D7*VV2(2)*ALPHA2/REAL(N-NNC60)
  WRITE(*,*)'TEHP1,2 =',TEHP1,TEHP2

  ELSE
  END IF

C ファイルへの出力 (.log)
  OPEN(STATUS='UNKNOWN',UNIT=30,FILE='tempC_60.log')
  write(30,*)TEHP1
  OPEN(STATUS='UNKNOWN',UNIT=31,FILE='temp_NANO.log')
  write(31,*)TEHP2
  OPEN(STATUS='UNKNOWN',UNIT=32,FILE='alphaC_60.log')
  write(32,*)alpha1
  OPEN(STATUS='UNKNOWN',UNIT=33,FILE='alpha_NANO.log')
  write(33,*)alpha2
  OPEN(STATUS='UNKNOWN',UNIT=34,FILE='VV2C_60.log')
  write(34,*)VV2(1)
  OPEN(STATUS='UNKNOWN',UNIT=35,FILE='VV2_NANO.log')
  write(35,*)VV2(2)

  ENERGY = TERSOFF(N,ZAHYO,LIST,KYORI,CUTOFF)
  ENERGY_VDW = VDW(N,ZAHYO,LIST_VDW,KYORI,CUTOFF)
  ENERGY = ENERGY + ENERGY_VDW

  WRITE(20,40) I , ENERGY

40  format(i6,f20.7)

  CALL PRINT_ZAHYO(N,J,ZAHYO,I,ENERGY,DIFF1,AN)

41  CONTINUE

C 温度読み込みの確認画面表示
  WRITE(*,*)'TEHP=',T

  close(20)

  STOP
  END

C
C This program is for md to run on Dec Fortran
C
CC
C 座標データの FILE 名を取得する サブルーチン
CC
101 SUBROUTINE GETFILENAME(FILENAME)
  CHARACTER*50 FILENAME
  INTEGER I
  I = IARGC()
  IF (I .NE. 1) then
    WRITE(*,*) 'Usage: opt hoge.xyz'
    GOTO 110
  ENDF

  CALL GETARG(1,FILENAME)

  RETURN
110 STOP
  END

121 SUBROUTINE GETARGU(LINE,I,ARGU)
  CHARACTER*50 LINE
  CHARACTER*50 DUH
  CHARACTER*50 ARGU
  INTEGER I

```

```

INTEGER J
INTEGER K
INTEGER lenline

DUH = LINE

do 128 K = 1 , I
  lenline = len(DUH)
  DO 122 J = 1 , lenline

    IF ( DUH(J:J) .EQ. ' ') THEN
      GOTO 122
    ENDIF
    IF ( DUH(J:J) .EQ. char(9) ) THEN
      GOTO 122
    ENDIF
    IF ( DUH(J:J) .EQ. char(0) ) THEN
      GOTO 122
    ENDIF
    GOTO 123
122  CONTINUE

123  DUH = DUH(J:lenline)

      lenline = len(DUH)
      DO 124 J = 2 , lenline
        IF ( DUH(J:J) .EQ. ' ') THEN
          GOTO 125
        ENDIF
        IF ( DUH(J:J) .EQ. char(9) ) THEN
          GOTO 125
        ENDIF
        IF ( DUH(J:J) .EQ. char(0) ) THEN
          GOTO 125
        ENDIF
124  CONTINUE
125  ARGU = DUH(1:J-1)

      DUH=DUH(J:lenline)

128  continue

      RETURN

c 129  STOP
      END

130  REAL*8 FUNCTION ATOR(STR)
      CHARACTER*80 STR
      INTEGER I
      INTEGER J
      INTEGER S
      INTEGER D
      INTEGER DCU
      INTEGER*4 R
      INTEGER*4 E

      I = 1
      S = 1

      R = 0
      EC = 0
      E = 0

      IF ( STR(1:1) .EQ. '+' ) THEN
        S = 1
        I = I + 1
      ENDIF
      IF ( STR(1:1) .EQ. '-' ) THEN
        S = -1
        I = I + 1
      ENDIF

      DO 140 J = I , 80
        IF ( STR(J:J) .EQ. '.' ) THEN
          EC = 1
          GOTO 140
        ENDIF

        D = ICHAR(STR(J:J)) - ICHAR('0')

        IF ( (D .GT. 9) .OR. (D .LT. 0) ) THEN
          GOTO 145
        ENDIF
        R = R * 10 + D
        E = E + EC

        IF ( R .GT. 9999999 ) THEN
          GOTO 145
        ENDIF

```

```

140 CONTINUE
145 ATOR = 1.0D0 * S * R / (10.0D0**E)

      RETURN
c 149 STOP
      END

CC
C   座標データ取り込み サブルーチン
CC

201 SUBROUTINE READ_ZAHYO(FILENAME, N, I,ZAHYO,AN)
      INCLUDE 'PARAMETER'

      CHARACTER*50 FILENAME

C   原子数を保持する変数
      INTEGER N
      INTEGER N3

C   FILE IO チェック用変数
      INTEGER IOCHECK

C   loop variable
      INTEGER I

C   炭素原子の座標用配列
      REAL*8 ZAHYO(HAX_ATH3)

C   元素名用変数
      CHARACTER*8 AN(HAX_ATH)

      CHARACTER*80 LINE,ARGU

C   FILE OPEN
      OPEN(60,FILE=FILENAME,STATUS='OLD',IOSTAT=IOCHECK)

C   FILE OPEN のエラーチェック
      IF ( IOCHECK ) THEN
         WRITE(*,*) 'File open error.'
         GOTO 299
      ENDIF

C   原子数の制限チェック
      READ(60,*) N

      IF ( HAX_ATH .LT. N ) THEN
         WRITE(*,*) "Too many atoms."
         GOTO 299
      ENDIF

      N3 = N * 3

      READ(60,209) LINE
208 format(f14.8)
209 format(a80)

C   座標読み込み 単位は
      DO 210 I = 1 , N3 , 3
         READ(60,209) LINE
         CALL GETARGU(LINE,1,ARGU)
         AN(I/3+1)=ARGU
         CALL GETARGU(LINE,2,ARGU)
         ZAHYO(I) = ATOR(ARGU)
         CALL GETARGU(LINE,3,ARGU)
         ZAHYO(I+1) = ATOR(ARGU)
         CALL GETARGU(LINE,4,ARGU)
         ZAHYO(I+2) = ATOR(ARGU)

C   読み込んだ座標の画面表示 (確認)
         itest=0
         if(itest.eq.1) then
            WRITE(*,*)'X,Y,Z=',ZAHYO(I),ZAHYO(I+1),ZAHYO(I+3)
         endif
      READ(60,*) AN(I/3+1) , ZAHYO(I) ,ZAHYO(I+1) ,ZAHYO(I+2)
210 CONTINUE

      CLOSE(60,STATUS='KEEP')
      RETURN

299 CLOSE(60,STATUS='KEEP')
      STOP
      END

cc
C   結果出力サブルーチン 1
cc

301 SUBROUTINE PRINT_ZAHYO(N, J, ZAHYO, T, ENERGY, DIFF1, AN)

```

```

INCLUDE 'PARAMETER'
INTEGER N,J,N3
REAL*8 TEMP
REAL*8 ZAHYO(HAX_ATH3)
CHARACTER*8 AN(HAX_ATH)
REAL*8 DIFF1(HAX_ATH3)
REAL*8 ENERGY
INTEGER I

c 結果のファイルへの出力 (result.xyz)
c result.xyz は一回ずつの原子の座標をプロットする。アニメーションで確認できる。
OPEN(1,STATUS='OLD',FILE='result.xyz')
WRITE(1,*) N
C WRITE(1,*) 'TIME=',T*TIME_DIV*1.0D15,'fs ENERGY =',ENERGY
c WRITE(1,*) 'fs ENERGY =',ENERGY,'TEMP(K)=',TEMP

WRITE(1,304)'fs ENERGY (eV)=',ENERGY

N3 = N * 3

DO 311 I = 1, N3, 3
WRITE(1,305) AN(I/3+1), ZAHYO(I), ZAHYO(I+1), ZAHYO(I+2)
# , DIFF1(I) *10.0, DIFF1(I+1) * 10.0, DIFF1(I+2) * 10.0
304 FORHAT(a20,f15.2)
305 FORHAT(a5,f15.7,f15.7,f15.7,f15.7,f15.7,f15.7,f15.7)
311 CONTINUE

C
C 結果出力サブルーチン 2
C
c 302 SUBROUTINE PRINT_ZAHYO2(N,ZAHYO,T,ENERGY,DIFF1,AN)
c INCLUDE 'PARAMETER'
c INTEGER N,N3
c INTEGER T
c REAL*8 ZAHYO(HAX_ATH3)
c CHARACTER*8 AN(HAX_ATH)
c REAL*8 DIFF1(HAX_ATH3)
c REAL*8 ENERGY
c INTEGER I

c 結果のファイルへの出力 (result1.xyz)
c OPEN(STATUS='OLD',UNIT=N,FILE='result1.xyz')
c WRITE(N,*) N
C WRITE(N,*) 'TIME=',T*TIME_DIV*1.0D15,'fs ENERGY =',ENERGY
c WRITE(N,*) 'fs ENERGY =',ENERGY,'TEMP(K)=',T
c
c
N3 = N * 3

DO 312 I = 1, N3, 3
WRITE(N,306) AN(I/3+1), ZAHYO(I), ZAHYO(I+1), ZAHYO(I+2)
# , DIFF1(I) *10.0, DIFF1(I+1) * 10.0, DIFF1(I+2) * 10.0

306 FORHAT(a5,f12.7,f12.7,f12.7,f12.7,f12.7,f12.7)
312 CONTINUE

398 RETURN
c 399 STOP
END

CC
C 最近接原子の LIST を作成するサブルーチン
CC

C
C LIST(0,N) : 原子番号 N の近接原子の数
C LIST(I,N) : 原子番号 N の I 番目の近接原子インデックス
C LIST(I+HAX_LIST_N,N) : 原子番号 N の I 番目の近接原子番号

401 SUBROUTINE MAKE_LIST(N,ZAHYO,LIST,KYORI,CUTOFF,IDX)
INCLUDE 'PARAMETER'
INTEGER N,N3

REAL*8 ZAHYO(HAX_ATH3)
INTEGER LIST(0:HAX_LIST_N2,HAX_ATH)
REAL*8 KYORI(HAX_DATA_IDX)
REAL*8 CUTOFF(HAX_DATA_IDX)
INTEGER IDX

REAL*8 HAX_X,HAX_Y,HAX_Z
REAL*8 HIN_X,HIN_Y,HIN_Z

INTEGER I,K,J
INTEGER E,F,G
INTEGER L,H

INTEGER I3

```

```

INTEGER HESH_X,HESH_Y,HESH_Z
INTEGER TX,TY,TZ
INTEGER TI,TJ,TI3,TJ3

INTEGER HESH(0:HAX_HESH_ATH,
#      0:HAX_HESH_X+1,0:HAX_HESH_Y+1,0:HAX_HESH_Z+1)

REAL*8 THP_R,THP_CUTOFF

REAL*8 SIN

N3 = N * 3

C リスト配列の初期化
DO 405 I = 1 , HAX_ATH
  LIST(0,I) = 0
405 CONTINUE

C HESH 配列の初期化
DO 406 I = 0 , HAX_HESH_X+1
  DO 406 J = 0 , HAX_HESH_Y+1
    DO 406 K = 0 , HAX_HESH_Z+1
      HESH(0,I,J,K) = 0
406 CONTINUE

C 系の座標の最大値 - 最小値を検索する
HAX_X = ZAHYO(1)
HAX_Y = ZAHYO(2)
HAX_Z = ZAHYO(3)
HIN_X = ZAHYO(1)
HIN_Y = ZAHYO(2)
HIN_Z = ZAHYO(3)

DO 410 I = 4 , N3 , 3
  IF ( HAX_X .LT. ZAHYO(I) ) THEN
    HAX_X = ZAHYO(I)
  ENDIF
  IF ( HAX_Y .LT. ZAHYO(I+1) ) THEN
    HAX_Y = ZAHYO(I+1)
  ENDIF
  IF ( HAX_Z .LT. ZAHYO(I+2) ) THEN
    HAX_Z = ZAHYO(I+2)
  ENDIF
  IF ( HIN_X .GT. ZAHYO(I) ) THEN
    HIN_X = ZAHYO(I)
  ENDIF
  IF ( HIN_Y .GT. ZAHYO(I+1) ) THEN
    HIN_Y = ZAHYO(I+1)
  ENDIF
  IF ( HIN_Z .GT. ZAHYO(I+2) ) THEN
    HIN_Z = ZAHYO(I+2)
  ENDIF
410 CONTINUE
C 最大、最小の画面表示 (確認)
WRITE(*,*)'HAX_',HAX_X,HAX_Y,HAX_Z
WRITE(*,*)'HIN_',HIN_X,HIN_Y,HIN_Z
WRITE(*,*)'D_',REAL(HESH_D)

C 一度、大まかに原子をグルーピングする。
C 最大値最小値から、メッシュの個数を決める

HESH_X = 1 + ( ( HAX_X - HIN_X ) / REAL(HESH_D) )
HESH_Y = 1 + ( ( HAX_Y - HIN_Y ) / REAL(HESH_D) )
HESH_Z = 1 + ( ( HAX_Z - HIN_Z ) / REAL(HESH_D) )

C HESH 用の配列 に収まらない場合 STOP
IF ( HESH_X .LE. HAX_HESH_X ) THEN
  GOTO 415
ENDIF
IF ( HESH_Y .LE. HAX_HESH_Y ) THEN
  GOTO 415
ENDIF
IF ( HESH_Z .LE. HAX_HESH_Z ) THEN
  GOTO 415

ENDIF

WRITE(*,*)'HESH is overflow: HAX_HESH_', HESH_X,HESH_Y,HESH_Z
WRITE(*,*)'HESH is overflow: HAX_', HAX_X,HAX_Y,HAX_Z
WRITE(*,*)'HESH is overflow: HIN_', HIN_X,HIN_Y,HIN_Z
STOP

C 全ての原子を HESH に グルーピングする。
415 DO 420 I = 1 , N
  I3 = I * 3 - 2
  TX = 1 + ( ( ZAHYO(I3) - HIN_X ) / HESH_D )
  TY = 1 + ( ( ZAHYO(I3+1) - HIN_Y ) / HESH_D )
  TZ = 1 + ( ( ZAHYO(I3+2) - HIN_Z ) / HESH_D )

```

```

C   HESH 配列がある場合 STOP
      IF ( HESH(0,TX,TY,TZ) .EQ. HAX_HESH_ATOM ) THEN
        WRITE(*,*) 'HESH_ATOM is overflow: HAX_HESH_ATOM.'
        STOP
      ENDIF

      HESH(0,TX,TY,TZ) = HESH(0,TX,TY,TZ) + 1
      HESH( HESH(0,TX,TY,TZ) , TX,TY,TZ) = I

420 CONTINUE

C   HESH のブロックの 近接内 (27 ブロック)
C   で 距離を計算し 近接 LIST を作成する
C   ついでに カットオフ関数の値も計算する

DO 443 I = 1 , HESH_X
  DO 442 J = 1 , HESH_Y
    DO 441 K = 1 , HESH_Z

      IF ( HESH(0,I,J,K) .EQ. 0 ) THEN
        GOTO 441
      ENDIF

      DO 433 E = I - 1 , I + 1
        DO 432 F = J - 1 , J + 1
          DO 431 G = K - 1 , K + 1

            IF ( HESH(0,E,F,G) .EQ. 0 ) THEN
              GOTO 431
            ENDIF

            DO 425 L = 1 , HESH(0,I,J,K)
              DO 424 H = 1 , HESH(0,E,F,G)

                TI = HESH(L,I,J,K)
                TJ = HESH(H,E,F,G)

                IF ( TI .LE. TJ ) THEN
                  GOTO 424
                ENDIF

                TI3 = TI*3-2
                TJ3 = TJ*3-2

C
C   原子間距離の計算
C
      THP_R =
      # ( ( ZAHYO(TJ3 ) - ZAHYO(TI3 ) )**2 +
      # ( ZAHYO(TJ3+1) - ZAHYO(TI3+1) )**2 +
      # ( ZAHYO(TJ3+2) - ZAHYO(TI3+2) )**2 )**0.5d0

C
C   近接でない場合場合 処理を飛ばす
C
      IF ( THP_R .GT. (PRH_CR + PRH_CD) ) THEN
        GOTO 424
      ENDIF

C   LIST の配列があふれる時 STOP

      IF ( ( LIST(0,TI) .EQ. HAX_LIST_N ) .OR.
      # ( LIST(0,TJ) .EQ. HAX_LIST_N ) ) THEN
        WRITE(*,*) 'LIST_N is overflow: HAX_LIST_N.'
        STOP
      ENDIF

      IDX = IDX + 1
      KYORI(IDX) = THP_R

      LIST(0,TI) = LIST(0,TI) + 1
      LIST( LIST(0,TI) , TI ) = IDX
      LIST( LIST(0,TI) + HAX_LIST_N , TI ) = TJ

      LIST(0,TJ) = LIST(0,TJ) + 1
      LIST( LIST(0,TJ) , TJ ) = IDX
      LIST( LIST(0,TJ) + HAX_LIST_N , TJ ) = TI

C
C   カットオフ関数を計算
C
      THP_CUTOFF = 1.0D0
      IF ( THP_R .GE. ( PRH_CR - PRH_CD) ) THEN
        THP_CUTOFF = 0.5D0 *
      # ( 1.0D0 - SIN( PI * ( THP_R - PRH_CR ) / (2.0D0 * PRH_CD) ) )
      ENDIF
      IF ( THP_R .GE. ( PRH_CR + PRH_CD) ) THEN
        THP_CUTOFF = 0.0D0
      ENDIF

      CUTOFF(IDX) = THP_CUTOFF

```

```

431 CONTINUE
425 CONTINUE

431 CONTINUE
432 CONTINUE
433 CONTINUE

441 CONTINUE
442 CONTINUE
443 CONTINUE

C      DO 452 I = 1 , N
C          write(*,*) "--",I
C          DO 451 J = 1 , LIST(0,I)
C              WRITE(*,*) LIST(J + HAX_LIST_M , I)
C 451      CONTINUE
C 452 CONTINUE

469 RETURN
c 499 STOP
      END

C
C      i 原子に関する Tersoff ポテンシャル
C

501 REAL*8 FUNCTION TERSOFF_I(I,ZAHYO,LIST,KYORI,CUTOFF)
      INCLUDE 'PARAMETER'
      INTEGER I

      REAL*8 ZAHYO(HAX_ATOM3)
      INTEGER LIST(0:HAX_LIST_M2,HAX_ATOM)
      REAL*8 KYORI(HAX_DATA_IDX)
      REAL*8 CUTOFF(HAX_DATA_IDX)

      INTEGER J,K,L,H
      INTEGER I3,J3,K3
      INTEGER IDXJ,IDXK

      REAL*8 G,GCOS
      REAL*8 ZETA
      REAL*8 I_X,I_Y,I_Z
      REAL*8 J_X,J_Y,J_Z
      REAL*8 K_X,K_Y,K_Z
      REAL*8 Bij

      REAL*8 EXP

      REAL*8 THP

      I3 = I*3 - 2
      I_X = ZAHYO(I3)
      I_Y = ZAHYO(I3+1)
      I_Z = ZAHYO(I3+2)

      THP = 0.0D0

      DO 520 L = 1 , LIST(0,I)
          IDXJ = LIST(L,I)
          J = LIST(L+HAX_LIST_M,I)
          J3 = J*3 - 2
          J_X = ZAHYO(J3)
          J_Y = ZAHYO(J3+1)
          J_Z = ZAHYO(J3+2)

          ZETA = 0.0D0

          DO 510 H = 1 , LIST(0,I)
              IF ( L .EQ. H ) THEN
                  GOTO 510
              ENDIF

              IDXK = LIST(H,I)
              K = LIST(H+HAX_LIST_M,I)
              K3 = K*3 - 2
              K_X = ZAHYO(K3)
              K_Y = ZAHYO(K3+1)
              K_Z = ZAHYO(K3+2)

              GCOS =
              #      (
              #          (J_X - I_X ) * (K_X - I_X )+
              #          (J_Y - I_Y ) * (K_Y - I_Y )+
              #          (J_Z - I_Z ) * (K_Z - I_Z )
              #          ) / KYORI(IDXJ) / KYORI(IDXK)

              IF ( KYORI(IDXK) .EQ. 0.0D0 ) THEN
                  WRITE(*,*) KYORI(IDXK) ,I,J,K
              ENDIF
          
```

```

      G = ( PRH_C * PRH_C ) / ( PRH_D * PRH_D ) -
#      ( PRH_C * PRH_C ) /
#      ( PRH_D * PRH_D + ( PRH_H - GCOS ) * ( PRH_H - GCOS ) )

      G = PRH_A * ( G + 1.0D0 )
      ZETA = ZETA + CUTOFF(IDXK) * G

510  CONTINUE

      Bij = ( 1.0 + ( ZETA )** ( PRH_ETA ) ) ** ( -PRH_DELTA )

      THP = THP +
#      CUTOFF(IDXJ) *
#      (
#      PRH_EA * EXP( -PRH_LUHBDa1 * KYORI(IDXJ) ) +
#      (PRH_EB) * Bij * EXP( -PRH_LUHBDa2 * KYORI(IDXJ) )
#      )

520  CONTINUE

      TERSOFF_I = THP

      RETURN
c 599  STOP
      END

601  REAL*8 FUNCTION TERSOFF(N,ZAHYO,LIST,KYORI,CUTOFF)
      INCLUDE 'PARAMETER'
      INTEGER I
      INTEGER N
      REAL*8 ZAHYO(HAX_ATOH3)
      INTEGER LIST(0:HAX_LIST_N2,HAX_ATOH)
      REAL*8 KYORI(HAX_DATA_IDX)
      REAL*8 CUTOFF(HAX_DATA_IDX)
      REAL*8 TERSOFF_I

      TERSOFF = 0.0D0

      DO 610 I = 1 , N
         TERSOFF = TERSOFF +
#         TERSOFF_I(I,ZAHYO,LIST,KYORI,CUTOFF)

610  CONTINUE

      TERSOFF = TERSOFF / 2.0D0

      RETURN
c 699  STOP
      END

701  SUBROUTINE CALC_DIFF1(N,ZAHYO,LIST,KYORI,CUTOFF,DIFF1)
      INCLUDE 'PARAMETER'
      INTEGER N,N3
      REAL*8 ZAHYO(HAX_ATOH3)
      INTEGER LIST(0:HAX_LIST_N2,HAX_ATOH)
      REAL*8 KYORI(HAX_DATA_IDX)
      REAL*8 CUTOFF(HAX_DATA_IDX)

      REAL*8 DIFF1(HAX_ATOH3)

      INTEGER I,ID3
      REAL*8 ZAHYO_ORG
      REAL*8 TERSOFF_LI

      REAL*8 THP

      N3 = N * 3

      DO 710 I = 1 , N3
         ID3 = ( I + 2 ) / 3
         ZAHYO_ORG = ZAHYO(I)

         ZAHYO(I) = ZAHYO_ORG + EPS1
         CALL RECALC(ID3,ZAHYO,LIST,KYORI,CUTOFF)
         THP = TERSOFF_LI(ID3,ZAHYO,LIST,KYORI,CUTOFF)

         ZAHYO(I) = ZAHYO_ORG - EPS1
         CALL RECALC(ID3,ZAHYO,LIST,KYORI,CUTOFF)
         THP = THP -
#         TERSOFF_LI(ID3,ZAHYO,LIST,KYORI,CUTOFF)

         ZAHYO(I) = ZAHYO_ORG
         CALL RECALC(ID3,ZAHYO,LIST,KYORI,CUTOFF)

         THP = THP / ( 2.0 * EPS1 )

         DIFF1(I) = -THP

710  CONTINUE

      RETURN

```

```

c 799 STOP
END

801 SUBROUTINE RECALC(I,ZAHYO,LIST,KYORI,CUTOFF)
INCLUDE 'PARAMETER'
INTEGER I,I3
REAL*8 ZAHYO(HAX_ATH3)
INTEGER LIST(0:HAX_LIST_M2,HAX_ATH)
REAL*8 KYORI(HAX_DATA_IDX)
REAL*8 CUTOFF(HAX_DATA_IDX)

INTEGER J,J3
INTEGER IDXJ
INTEGER H

REAL*8 THP_R
REAL*8 THP_CUTOFF

REAL*8 SIN
REAL*8 SQRT

I3 = I*3-2

DO 810 H = 1 , LIST(0,I)
  IDXJ = LIST(H,I)
  J = LIST(H+HAX_LIST_M,I)
  IDXJ = LIST(H,I)

  J3 = J*3-2
  THP_R =
#   SQRT ( ( ZAHYO(J3) - ZAHYO(I3) )**2 +
#   ( ZAHYO(J3+1) - ZAHYO(I3+1) )**2 +
#   ( ZAHYO(J3+2) - ZAHYO(I3+2) )**2 )

  KYORI (IDXJ) = THP_R

  THP_CUTOFF = 1.0D0
  IF ( THP_R .GE. ( PRH_CR - PRH_CD ) ) THEN
    THP_CUTOFF = 0.5D0 *
#   ( 1.0D0 - SIN( PI * ( THP_R - PRH_CR ) / ( 2.0D0 * PRH_CD ) ) )
  ENDIF
  IF ( THP_R .GE. ( PRH_CR + PRH_CD ) ) THEN
    THP_CUTOFF = 0.0D0
  ENDIF

  CUTOFF (IDXJ) = THP_CUTOFF

810 CONTINUE

RETURN
c 899 STOP
END

901 REAL*8 FUNCTION TERSOFF_LI(I,ZAHYO,LIST,KYORI,CUTOFF)
INCLUDE 'PARAMETER'
INTEGER I
REAL*8 ZAHYO(HAX_ATH3)
INTEGER LIST(0:HAX_LIST_M2,HAX_ATH)
REAL*8 KYORI(HAX_DATA_IDX)
REAL*8 CUTOFF(HAX_DATA_IDX)
REAL*8 TERSOFF_I
INTEGER L

INTEGER J

TERSOFF_LI = TERSOFF_I (I,ZAHYO,LIST,KYORI,CUTOFF)

DO 910 L = 1 , LIST(0,I)
  J = LIST(L + HAX_LIST_M,I)
  TERSOFF_LI = TERSOFF_LI +
#   TERSOFF_I (J,ZAHYO,LIST,KYORI,CUTOFF)

910 CONTINUE

RETURN

c 999 STOP
END

1001 SUBROUTINE HAKE_LIST2(N,LIST,LIST2)
INCLUDE 'PARAMETER'
INTEGER N
INTEGER LIST(0:HAX_LIST_M2,HAX_ATH)
INTEGER LIST2(0:HAX_LIST2_M,HAX_ATH)

INTEGER I,J,K,L,H

DO 1010 I = 1 , N
  LIST2(0,I) = 0

```

```

DO 1005 J = 1 , LIST(0,I)
  L = LIST(J+HAX_LIST_N,I)

DO 1003 K = 1 , LIST(0,L)
  H = LIST(K+HAX_LIST_H,L)
  IF ( H .EQ. I) THEN
    GOTO 1003
  ENDIF
  IF ( H .EQ. L) THEN
    GOTO 1003
  ENDIF

  IF ( LIST2(0,I) .EQ. HAX_LIST2_N ) THEN
    WRITE(*,*) 'HAX_LIST2_N is overflow'
    & ,i,LIST2(0,i),HAX_LIST2_N,HAX_ATOH
    STOP
  ENDIF

  LIST2(0,I) = LIST2(0,I) + 1
  LIST2(LIST2(0,I),I) = H

1003 CONTINUE
1005 CONTINUE
1010 CONTINUE

RETURN
c 1099 STOP
END

1101 SUBROUTINE CALC_DIFF2
#(M,ZAHYO,LIST,LIST2,KYORI,CUTOFF,DIFF2,DIFF2_DATA)
INCLUDE 'PARAHETER'

INTEGER N,N3
INTEGER LIST(0:HAX_LIST_N2,HAX_ATOH)
INTEGER LIST2(0:HAX_LIST2_N,HAX_ATOH)

REAL*8 ZAHYO(HAX_ATOH3)
REAL*8 KYORI(HAX_DATA_IDX)
REAL*8 CUTOFF(HAX_DATA_IDX)

INTEGER DIFF2(0:HAX_DIFF2_LIST,HAX_ATOH3)
REAL*8 DIFF2_DATA(HAX_DIFF2_LIST,HAX_ATOH3)

INTEGER I,J,K
INTEGER L

N3 = N * 3

C DO 1110 I = 1 , HAX_ATOH3
C DIFF2(0,I) = 0
C 1110 CONTINUE

DO 1150 I = 1 , N
  同一原子の座標系
  CALL CALC_DIFF2_1
  # (I,ZAHYO,LIST,KYORI,CUTOFF,DIFF2,DIFF2_DATA)

C 隣合う原子の座標系
DO 1145 L = 1 , LIST(0,I)
  J = LIST(L+HAX_LIST_N,I)

  CALL CALC_DIFF2_2
  # (I,J,ZAHYO,LIST,KYORI,CUTOFF,DIFF2,DIFF2_DATA)
1145 CONTINUE

C 第二隣接の座標系

DO 1146 L = 1 , LIST2(0,I)
  J = LIST2(L,I)
  CALL CALC_DIFF2_3
  # (I,J,ZAHYO,LIST,KYORI,CUTOFF,DIFF2,DIFF2_DATA)
1146 CONTINUE

1150 CONTINUE

RETURN
c 1199 STOP
END

1201 SUBROUTINE CALC_DIFF2_1
# (I,ZAHYO,LIST,KYORI,CUTOFF,DIFF2,DIFF2_DATA)

INCLUDE 'PARAHETER'
INTEGER I
INTEGER LIST(0:HAX_LIST_N2,HAX_ATOH)

REAL*8 ZAHYO(HAX_ATOH3)
REAL*8 KYORI(HAX_DATA_IDX)
REAL*8 CUTOFF(HAX_DATA_IDX)

```

```

INTEGER DIFF2(0:HAX_DIFF2_LIST,HAX_ATH3)
REAL*8 DIFF2_DATA(HAX_DIFF2_LIST,HAX_ATH3)
REAL*8 TERSOFF_LI

INTEGER I3 , J3
INTEGER II , JJ
INTEGER I3II , J3JJ
REAL*8 X , Y

REAL*8 THP
REAL*8 DATA

I3 = I*3 - 3
J3 = J3

DO 1230 II = 1 , 3
DO 1220 JJ = 1 , 3
  I3II = I3 + II
  J3JJ = J3 + JJ

  IF ( I3II .NE. J3JJ ) THEN

    X = ZAHYO(I3II)
    Y = ZAHYO(J3JJ)

    ZAHYO(I3II) = X + EPS2
    ZAHYO(J3JJ) = Y + EPS2
    CALL RECALC(I,ZAHYO,LIST,KYORI,CUTOFF)
    THP = TERSOFF_LI(I,ZAHYO,LIST,KYORI,CUTOFF)

    ZAHYO(I3II) = X - EPS2
    ZAHYO(J3JJ) = Y - EPS2
    CALL RECALC(I,ZAHYO,LIST,KYORI,CUTOFF)
    THP = THP +
#      TERSOFF_LI(I,ZAHYO,LIST,KYORI,CUTOFF)

    ZAHYO(I3II) = X + EPS2
    ZAHYO(J3JJ) = Y - EPS2
    CALL RECALC(I,ZAHYO,LIST,KYORI,CUTOFF)
    THP = THP -
#      TERSOFF_LI(I,ZAHYO,LIST,KYORI,CUTOFF)

    ZAHYO(I3II) = X - EPS2
    ZAHYO(J3JJ) = Y + EPS2
    CALL RECALC(I,ZAHYO,LIST,KYORI,CUTOFF)
    THP = THP -
#      TERSOFF_LI(I,ZAHYO,LIST,KYORI,CUTOFF)

    DATA = THP / ( 8.0D0 * EPS2 * EPS2 )

    ZAHYO(I3II) = X
    ZAHYO(J3JJ) = Y

  ELSE

    X = ZAHYO(I3II)

    ZAHYO(I3II) = X + 2.0D0*EPS2
    CALL RECALC(I,ZAHYO,LIST,KYORI,CUTOFF)
    THP = TERSOFF_LI(I,ZAHYO,LIST,KYORI,CUTOFF)

    ZAHYO(I3II) = X - 2.0D0*EPS2
    CALL RECALC(I,ZAHYO,LIST,KYORI,CUTOFF)
    THP = THP +
#      TERSOFF_LI(I,ZAHYO,LIST,KYORI,CUTOFF)

    ZAHYO(I3II) = X + EPS2
    CALL RECALC(I,ZAHYO,LIST,KYORI,CUTOFF)
    THP = THP -
#      TERSOFF_LI(I,ZAHYO,LIST,KYORI,CUTOFF)

    ZAHYO(I3II) = X - EPS2
    CALL RECALC(I,ZAHYO,LIST,KYORI,CUTOFF)
    THP = THP -
#      TERSOFF_LI(I,ZAHYO,LIST,KYORI,CUTOFF)

    DATA = THP / ( 3.0D0 * EPS2 * EPS2 )

    ZAHYO(I3II) = X

  ENDIF

  CALL RECALC(I,ZAHYO,LIST,KYORI,CUTOFF)
  CALL ADD_DIFF2( DATA , I3II , J3JJ , DIFF2 ,DIFF2_DATA)

1220 CONTINUE
1230 CONTINUE

RETURN
c 1299 STOP
END

```

```

1301 SUBROUTINE ADD_DIFF2( DATA , I3II , J3JJ , DIFF2 , DIFF2_DATA )
  INCLUDE 'PARAMETER'

  INTEGER I3II , J3JJ
  INTEGER DIFF2(0:HAX_DIFF2_LIST,HAX_ATH3)
  REAL*8 DIFF2_DATA(HAX_DIFF2_LIST,HAX_ATH3)
  REAL*8 DATA

  IF ( DIFF2(0,I3II) .EQ. HAX_DIFF2_LIST ) THEN
    WRITE(*,*) 'HAX_DIFF2_LIST is overflow.'
    STOP
  ENDIF

  DIFF2(0,I3II) = DIFF2(0,I3II) + 1
  DIFF2(DIFF2(0,I3II),I3II) = J3JJ
  DIFF2_DATA(DIFF2(0,I3II),I3II) = DATA
C   WRITE(*,*) I3II , J3JJ , DATA

  RETURN
c 1349 STOP
END

1351 SUBROUTINE ADD2_DIFF2( DATA , I3II , J3JJ , DIFF2 , DIFF2_DATA )
  INCLUDE 'PARAMETER'

  INTEGER I3II , J3JJ
  INTEGER DIFF2(0:HAX_DIFF2_LIST,HAX_ATH3)
  REAL*8 DIFF2_DATA(HAX_DIFF2_LIST,HAX_ATH3)
  REAL*8 DATA
  INTEGER I

  DO 1360 I = 1 , DIFF2(0,I3II)
    IF ( DIFF2(I,I3II) .EQ. J3JJ ) THEN
      DIFF2_DATA(I,I3II) = DIFF2_DATA(I,I3II) + DATA
      GOTO 1380
    ENDIF
  1360 CONTINUE

  WRITE(*,*) 'error ADD2_DIFF2'
  STOP
C   WRITE(*,*) I3II , J3JJ , DATA

  1380 RETURN
c 1399 STOP
END

1401 SUBROUTINE CALC_DIFF2_2
#   ( I , J , ZAHYO , LIST , KYORI , CUTOFF , DIFF2 , DIFF2_DATA )

  INCLUDE 'PARAMETER'
  INTEGER I , J
  INTEGER LIST(0:HAX_LIST_N2,HAX_ATH)
  INTEGER LIST_IJ(0:HAX_LIST_IJ)

  REAL*8 ZAHYO(HAX_ATH3)
  REAL*8 KYORI(HAX_DATA_IDX)
  REAL*8 CUTOFF(HAX_DATA_IDX)

  INTEGER DIFF2(0:HAX_DIFF2_LIST,HAX_ATH3)
  REAL*8 DIFF2_DATA(HAX_DIFF2_LIST,HAX_ATH3)
  REAL*8 TERSOFF_I
  REAL*8 TERSOFF_LIJ

  INTEGER I3 , J3
  INTEGER II , JJ
  INTEGER I3II , J3JJ
  REAL*8 X , Y

  REAL*8 THP
  REAL*8 DATA

  CALL MAKE_LIST_IJ( I , J , LIST_IJ , LIST )

  I3 = I*3 - 3
  J3 = J*3 - 3

  DO 1430 II = 1 , 3
    DO 1420 JJ = 1 , 3
      I3II = I3 + II
      J3JJ = J3 + JJ

      X = ZAHYO(I3II)
      Y = ZAHYO(J3JJ)

      ZAHYO(I3II) = X + EPS2
      ZAHYO(J3JJ) = Y + EPS2

```

```

CALL RECALC(I,ZAHYO,LIST,KYORI,CUTOFF)
CALL RECALC(J,ZAHYO,LIST,KYORI,CUTOFF)
THP = TERSOFF_I(I,ZAHYO,LIST,KYORI,CUTOFF)
#       +TERSOFF_I(J,ZAHYO,LIST,KYORI,CUTOFF)
#       +TERSOFF_LIJ(LIST_IJ,ZAHYO,LIST,KYORI,CUTOFF)

ZAHYO(I3II) = X - EPS2
ZAHYO(J3JJ) = Y - EPS2
CALL RECALC(I,ZAHYO,LIST,KYORI,CUTOFF)
CALL RECALC(J,ZAHYO,LIST,KYORI,CUTOFF)

THP = THP
#       +TERSOFF_I(I,ZAHYO,LIST,KYORI,CUTOFF)
#       +TERSOFF_I(J,ZAHYO,LIST,KYORI,CUTOFF)
#       +TERSOFF_LIJ(LIST_IJ,ZAHYO,LIST,KYORI,CUTOFF)

ZAHYO(I3II) = X + EPS2
ZAHYO(J3JJ) = Y - EPS2

CALL RECALC(I,ZAHYO,LIST,KYORI,CUTOFF)
CALL RECALC(J,ZAHYO,LIST,KYORI,CUTOFF)

THP = THP
#       -TERSOFF_I(I,ZAHYO,LIST,KYORI,CUTOFF)
#       -TERSOFF_I(J,ZAHYO,LIST,KYORI,CUTOFF)
#       -TERSOFF_LIJ(LIST_IJ,ZAHYO,LIST,KYORI,CUTOFF)

ZAHYO(I3II) = X - EPS2
ZAHYO(J3JJ) = Y + EPS2
CALL RECALC(I,ZAHYO,LIST,KYORI,CUTOFF)
CALL RECALC(J,ZAHYO,LIST,KYORI,CUTOFF)

THP = THP
#       -TERSOFF_I(I,ZAHYO,LIST,KYORI,CUTOFF)
#       -TERSOFF_I(J,ZAHYO,LIST,KYORI,CUTOFF)
#       -TERSOFF_LIJ(LIST_IJ,ZAHYO,LIST,KYORI,CUTOFF)

DATA = THP / ( 8.0D0 * EPS2 * EPS2 )

ZAHYO(I3II) = X
ZAHYO(J3JJ) = Y

CALL RECALC(I,ZAHYO,LIST,KYORI,CUTOFF)
CALL RECALC(J,ZAHYO,LIST,KYORI,CUTOFF)

CALL ADD_DIFF2( DATA , I3II , J3JJ , DIFF2 ,DIFF2_DATA)

1420 CONTINUE
1430 CONTINUE

RETURN
c 1499 STOP
END

1501 SUBROUTINE HAKE_LIST_IJ( I,J,LIST_IJ,LIST )
INCLUDE 'PARAMETER'

INTEGER I,J
INTEGER LIST_IJ(0:HAX_LIST_IJ)
INTEGER LIST(0:HAX_LIST_N2,HAX_ATH)

INTEGER L,H

LIST_IJ(0) = 0

DO 1540 L = 1 , LIST(0,I)
DO 1530 H = 1 , LIST(0,J)
IF ( LIST(L+HAX_LIST_N,I)
#       .NE. LIST(H+HAX_LIST_N,J)) THEN
GOTO 1530
ENDIF

IF ( LIST_IJ(0) .EQ. HAX_LIST_IJ ) THEN
WRITE(*,*) 'HAX_LIST_IJ is overflow.'
ENDIF

LIST_IJ(0) = LIST_IJ(0) + 1
LIST_IJ(LIST_IJ(0)) = LIST(L+HAX_LIST_N,I)

1530 CONTINUE
1540 CONTINUE

RETURN
c 1599 STOP
END

1601 REAL*8 FUNCTION TERSOFF_LIJ(LIST_IJ,ZAHYO,LIST,KYORI,CUTOFF)
INCLUDE 'PARAMETER'
INTEGER LIST_IJ(0:HAX_LIST_IJ)
REAL*8 ZAHYO(HAX_ATH3)
INTEGER LIST(0:HAX_LIST_N2,HAX_ATH)

```

```

REAL*8 KYORI(HAX_DATA_IDX)
REAL*8 CUTOFF(HAX_DATA_IDX)
REAL*8 TERSOFF_I

INTEGER I,L

TERSOFF_LIJ = 0.0D0

DO 1610 L = 1 , LIST_IJ(0)

    I = LIST_IJ(L)

    TERSOFF_LIJ = TERSOFF_LIJ +
#       TERSOFF_I (I,ZAHYO,LIST,KYORI,CUTOFF)

1610 CONTINUE

RETURN

c 1699 STOP
END

1701 SUBROUTINE CALC_DIFF2_3
#       (I,J,ZAHYO,LIST,KYORI,CUTOFF,DIFF2,DIFF2_DATA)

INCLUDE 'PARAMETER'
INTEGER I,J
INTEGER LIST(0:HAX_LIST_N2,HAX_ATH3)
INTEGER LIST_IJ(0:HAX_LIST_IJ)

REAL*8 ZAHYO(HAX_ATH3)
REAL*8 KYORI(HAX_DATA_IDX)
REAL*8 CUTOFF(HAX_DATA_IDX)

INTEGER DIFF2(0:HAX_DIFF2_LIST,HAX_ATH3)
REAL*8 DIFF2_DATA(HAX_DIFF2_LIST,HAX_ATH3)
REAL*8 TERSOFF_LIJ

INTEGER I3 , J3
INTEGER II,JJ
INTEGER I3II,J3JJ
REAL*8 X,Y

REAL*8 THP
REAL*8 DATA

CALL MAKE_LIST_IJ( I,J,LIST_IJ,LIST )

I3 = I*3 - 3
J3 = J*3 - 3

DO 1730 II = 1 , 3
DO 1720 JJ = 1 , 3
    I3II = I3 + II
    J3JJ = J3 + JJ

    X = ZAHYO(I3II)
    Y = ZAHYO(J3JJ)

    ZAHYO(I3II) = X + EPS2
    ZAHYO(J3JJ) = Y + EPS2
    CALL RECALC(I,ZAHYO,LIST,KYORI,CUTOFF)
    CALL RECALC(J,ZAHYO,LIST,KYORI,CUTOFF)

    THP = TERSOFF_LIJ(LIST_IJ,ZAHYO,LIST,KYORI,CUTOFF)

    ZAHYO(I3II) = X - EPS2
    ZAHYO(J3JJ) = Y - EPS2
    CALL RECALC(I,ZAHYO,LIST,KYORI,CUTOFF)
    CALL RECALC(J,ZAHYO,LIST,KYORI,CUTOFF)

    THP = THP
#       +TERSOFF_LIJ(LIST_IJ,ZAHYO,LIST,KYORI,CUTOFF)

    ZAHYO(I3II) = X + EPS2
    ZAHYO(J3JJ) = Y - EPS2
    CALL RECALC(I,ZAHYO,LIST,KYORI,CUTOFF)
    CALL RECALC(J,ZAHYO,LIST,KYORI,CUTOFF)

    THP = THP
#       -TERSOFF_LIJ(LIST_IJ,ZAHYO,LIST,KYORI,CUTOFF)

    ZAHYO(I3II) = X - EPS2
    ZAHYO(J3JJ) = Y + EPS2
    CALL RECALC(I,ZAHYO,LIST,KYORI,CUTOFF)
    CALL RECALC(J,ZAHYO,LIST,KYORI,CUTOFF)

    THP = THP
#       -TERSOFF_LIJ(LIST_IJ,ZAHYO,LIST,KYORI,CUTOFF)

DATA = THP / ( 8.0D0 * EPS2 * EPS2 )

```

```

      ZAHYO(I3II) = X
      ZAHYO(J3JJ) = Y

      CALL RECALC(I,ZAHYO,LIST,KYORI,CUTOFF)
      CALL RECALC(J,ZAHYO,LIST,KYORI,CUTOFF)

      CALL ADD_DIFF2( DATA , I3II , J3JJ , DIFF2 ,DIFF2_DATA)

1720  CONTINUE
1730  CONTINUE

      RETURN
c 1799 STOP
      END

1801 SUBROUTINE CONJGRAD(N,ZAHYO,DIFF1,DIFF2,DIFF2_DATA)
      INCLUDE 'PARAMETER'
      INTEGER N
      REAL*8 ZAHYO(HAX_ATH3)
      REAL*8 DIFF1(HAX_ATH3)
      INTEGER DIFF2(0:HAX_DIFF2_LIST,HAX_ATH3)
      REAL*8 DIFF2_DATA(HAX_DIFF2_LIST,HAX_ATH3)

      INTEGER N3

      REAL*8 P(HAX_ATH3)
      REAL*8 R(HAX_ATH3)
      REAL*8 AP(HAX_ATH3)
      REAL*8 X(HAX_ATH3)

      REAL*8 NORH_R2,NORH_R2_
      REAL*8 PAP

      REAL*8 A

      REAL*8 C

      INTEGER I,J,K
      INTEGER L

      N3 = N*3
      NORH_R2 = 0.0D0

      DO 1810 I = 1 , N3
          X(I) = 0.0D0
          R(I) = DIFF1(I)
          P(I) = DIFF1(I)
          NORH_R2 = NORH_R2 + R(I) * R(I)
1810 CONTINUE

C      WRITE(*,*) 0,NORH_R2
      DO 1860 K = 1 , N3

          IF ( NORH_R2 .LT. 1.0D-6 ) THEN
              GOTO 1865
          ENDIF

          DO 1820 I = 1 , N3
              AP(I) = 0.0D0
              DO 1815 L = 1 , DIFF2(0,I)
                  J = DIFF2(L,I)
                  AP(I) = AP(I) + P(J) * DIFF2_DATA(L,I)
              END DO
          END DO

1815 CONTINUE
1820 CONTINUE

          PAP = 0.0D0
          DO 1830 I = 1 , N3
              PAP = PAP + P(I) * AP(I)
          END DO
1830 CONTINUE

          A = NORH_R2 / PAP
C      WRITE(*,*) 'A=',A

          NORH_R2_ = 0.0D0

          DO 1840 I = 1 , N3
              X(I) = X(I) + A * P(I)
              R(I) = R(I) - A * AP(I)
              NORH_R2_ = NORH_R2_ + R(I) * R(I)
          END DO
1840 CONTINUE

C      WRITE(*,*) K,NORH_R2_

          C = NORH_R2_ / NORH_R2
          IF ( C .GT. 1.0D0 ) THEN
              GOTO 1865
          ENDIF

```

```

      NORH_R2 = NORH_R2_
      DO 1850 I = 1 , N3
        P(I) = R(I) + C * P(I)
1850   CONTINUE

1860 CONTINUE

1865 DO 1870 I = 1 , N3
      ZAHYO(I) = ZAHYO(I) + X(I)
1870 CONTINUE

      RETURN
c 1899 STOP
      END

1901 SUBROUTINE HAKE_LIST_VDW(N,ZAHYO,LIST_VDW,KYORI,CUTOFF,IDX
#,LIST,LIST2,AN)
      INCLUDE 'PARAMETER'
      INTEGER N,N3

      REAL*8 ZAHYO(HAX_ATOM3)
      CHARACTER*8 AN(HAX_ATOM)
      INTEGER LIST_VDW(0:HAX_LIST_VN2,HAX_ATOM)
      REAL*8 KYORI(HAX_DATA_IDX)
      REAL*8 CUTOFF(HAX_DATA_IDX)
      INTEGER IDX

      INTEGER LIST(0:HAX_LIST_N2,HAX_ATOM)
      INTEGER LIST2(0:HAX_LIST2_N,HAX_ATOM)

      INTEGER I,K,J
      INTEGER E,F,G
      INTEGER L,H

      INTEGER I3

      INTEGER TX,TY,TZ
      INTEGER TI,TJ,TI3,TJ3

      REAL*8 THP_R,THP_CUTOFF

C      REAL*8 SIN
C      INTEGER IDX

      N3 = N * 3

C      リスト配列の初期化
      DO 1905 I = 1 , HAX_ATOM
        LIST_VDW(0,I) = 0
1905   CONTINUE

C      系の座標の最大値 - 最小値を検索する

C      一度、大まかに原子をグルーピングする。
C      最大値最小値から、メッシュの個数を決める

C      全ての原子を HESH に グルーピングする。

DO 1925 TI = 1 , N
      DO 1924 TJ = 1 , N
        IF ( TI .LE. TJ ) THEN
          GOTO 1924
        ENDIF

          TI3 = TI*3-2
          TJ3 = TJ*3-2

C      原子間距離の計算
C      THP_R =
#      ( ( ZAHYO(TJ3 ) - ZAHYO(TI3 ) )**2 +
#      ( ZAHYO(TJ3+1) - ZAHYO(TI3+1) )**2 +
#      ( ZAHYO(TJ3+2) - ZAHYO(TI3+2) )**2 )**0.5d0

C      範囲外のとぎ飛ばす。

      IF ( THP_R .GT. (PRH_VCR2 + PRH_VCD2) ) THEN
        GOTO 1924
      ENDIF

C      同一分子内は 無視
      IF ( AN(TI) .EQ. AN(TJ) ) THEN
        GOTO 1924

```

```

ENDIF
C WRITE(*,*) AN(TI) , AN(TJ)
C LIST の配列があふれる時 STOP
IF ( ( LIST_VDW(O,TI) .EQ. HAX_LIST_VN ) .OR.
# ( LIST_VDW(O,TJ) .EQ. HAX_LIST_VN ) ) THEN
WRITE(*,*) 'LIST_VN is overflow: HAX_LIST_VN.'
STOP
ENDIF

IDX = IDX + 1
KYORI(IDX) = THP_R

LIST_VDW(O,TI) = LIST_VDW(O,TI) + 1
LIST_VDW( LIST_VDW(O,TI) ,TI ) = IDX
LIST_VDW( LIST_VDW(O,TI) + HAX_LIST_VN ,TI ) = TJ

LIST_VDW(O,TJ) = LIST_VDW(O,TJ) + 1
LIST_VDW( LIST_VDW(O,TJ) ,TJ ) = IDX
LIST_VDW( LIST_VDW(O,TJ) + HAX_LIST_VN ,TJ ) = TI

C
C カットオフ関数を計算
C
THP_CUTOFF = 0.000
IF ( THP_R .GE. ( PRH_VCR - PRH_VCD ) ) THEN
THP_CUTOFF = 0.500 *
# ( 1.000 + SIN( PI * ( THP_R - PRH_VCR ) / ( 2.000 * PRH_VCD ) ) )
ENDIF
IF ( THP_R .GE. ( PRH_VCR + PRH_VCD ) ) THEN
THP_CUTOFF = 1.000
ENDIF
IF ( THP_R .GE. ( PRH_VCR2 - PRH_VCD2 ) ) THEN
THP_CUTOFF = 0.500 *
# ( 1.000 - SIN( PI * ( THP_R - PRH_VCR2 ) / ( 2.000 * PRH_VCD2 ) ) )
ENDIF
IF ( THP_R .GE. ( PRH_VCR2 + PRH_VCD2 ) ) THEN
THP_CUTOFF = 0.000
ENDIF

CUTOFF(IDX) = THP_CUTOFF

1924 CONTINUE
1925 CONTINUE

C DO 1952 I = 1 , N
C WRITE(*,*) "--",I
C DO 1951 J = 1 , LIST_VDW(O,I)
C WRITE(*,*) LIST_VDW(J + HAX_LIST_VN , I)
C 1951 CONTINUE
C 1952 CONTINUE

1969 RETURN
c 1999 STOP
END

C
C 原子 I に関する Van Der Waals ポテンシャル
C
2001 REAL*8 FUNCTION VDW_I(I,ZAHYO,LIST_VDW,KYORI,CUTOFF)
INCLUDE 'PARAMETER'
INTEGER I

REAL*8 ZAHYO(HAX_ATOM3)
INTEGER LIST_VDW(O:HAX_LIST_VN2,HAX_ATOM)
REAL*8 KYORI(HAX_DATA_IDX)
REAL*8 CUTOFF(HAX_DATA_IDX)

REAL*8 R,U
REAL*8 VDW_FUNC

INTEGER L,IDXJ

U = 0.000

DO 2010 L = 1 , LIST_VDW(O,I)
IDXJ = LIST_VDW(L,I)
R = KYORI(IDXJ)
U = U + CUTOFF(IDXJ) * VDW_FUNC(R)

2010 CONTINUE

VDW_I = U
C WRITE(*,*) "VDW" , U , R

RETURN

```

```

c 2049 STOP
END

2050 REAL*8 FUNCTION VDW_FUNC(R)
INCLUDE 'PARAMETER'
REAL*8 R,SR
REAL*8 THP_CUTOFF
REAL*8 SIN

SR = 3.407D0 / R

THP_CUTOFF = 0.0D0
IF ( R .GE. ( PRH_VCR - PRH_VCD ) ) THEN

THP_CUTOFF = 0.5D0 *
# ( 1.0D0 + SIN( PI * ( R - PRH_VCR ) / ( 2.0D0 * PRH_VCD ) ) )
ENDIF
IF ( R .GE. ( PRH_VCR + PRH_VCD ) ) THEN
THP_CUTOFF = 1.0D0
ENDIF
IF ( R .GE. ( PRH_VCR2 - PRH_VCD2 ) ) THEN
THP_CUTOFF = 0.5D0 *
# ( 1.0D0 - SIN( PI * ( R - PRH_VCR2 ) / ( 2.0D0 * PRH_VCD2 ) ) )
ENDIF
IF ( R .GE. ( PRH_VCR2 + PRH_VCD2 ) ) THEN
THP_CUTOFF = 0.0D0
ENDIF

VDW_FUNC =
# 4.0D0 * 0.002964D0 *
# ( SR**12.0D0 - SR**6.0D0 )
# * THP_CUTOFF

RETURN
c 2099 STOP
END

2101 SUBROUTINE CALC_DIFF1_VDW(N,ZAHYO,LIST_VDW,KYORI,CUTOFF,DIFF1)
INCLUDE 'PARAMETER'
INTEGER N,N3
REAL*8 ZAHYO(HAX_ATH3)
INTEGER LIST_VDW(0:HAX_LIST_VN2,HAX_ATH)
REAL*8 KYORI(HAX_DATA_IDX)
REAL*8 CUTOFF(HAX_DATA_IDX)

REAL*8 DIFF1(HAX_ATH3)

INTEGER I,ID3
REAL*8 ZAHYO_ORG
REAL*8 VDW_I

REAL*8 THP

N3 = N * 3

DO 2110 I = 1 , N3

ID3 = ( I + 2 ) / 3
ZAHYO_ORG = ZAHYO(I)

ZAHYO(I) = ZAHYO_ORG + EPS1
CALL RECALC_VDW(ID3,ZAHYO,LIST_VDW,KYORI,CUTOFF)
THP = VDW_I(ID3,ZAHYO,LIST_VDW,KYORI,CUTOFF)

ZAHYO(I) = ZAHYO_ORG - EPS1
CALL RECALC_VDW(ID3,ZAHYO,LIST_VDW,KYORI,CUTOFF)
THP = THP -
# VDW_I(ID3,ZAHYO,LIST_VDW,KYORI,CUTOFF)

ZAHYO(I) = ZAHYO_ORG
CALL RECALC_VDW(ID3,ZAHYO,LIST_VDW,KYORI,CUTOFF)

THP = THP / ( 2.0 * EPS1 )
C WRITE(*,*) , I , THP
DIFF1(I) = DIFF1(I) - THP
C DIFF1(I) = - THP

2110 CONTINUE

RETURN
c 2199 STOP
END

2201 SUBROUTINE RECALC_VDW(I,ZAHYO,LIST_VDW,KYORI,CUTOFF)
INCLUDE 'PARAMETER'
INTEGER I,I3
REAL*8 ZAHYO(HAX_ATH3)

```

```

INTEGER LIST_VDW(0:HAX_LIST_VN2,HAX_ATH)
REAL*8 KYORI(HAX_DATA_IDX)
REAL*8 CUTOFF(HAX_DATA_IDX)

INTEGER J,J3
INTEGER IDXJ
INTEGER H

REAL*8 THP_R
REAL*8 THP_CUTOFF

C REAL*8 SIN
REAL*8 SQRT

I3 = I*3-2

DO 2210 H = 1 , LIST_VDW(0,I)
  IDXJ = LIST_VDW(H,I)
  J = LIST_VDW(H+HAX_LIST_VN,I)

  J3 = J*3-2
  THP_R =
#   SQRT ( ( ZAHYO(J3) - ZAHYO(I3) )**2 +
#         ( ZAHYO(J3+1) - ZAHYO(I3+1) )**2 +
#         ( ZAHYO(J3+2) - ZAHYO(I3+2) )**2 )

  KYORI (IDXJ) = THP_R

  THP_CUTOFF = 1.0D0
  IF ( THP_R .GE. ( PRH_CR - PRH_CD ) ) THEN
C   THP_CUTOFF = 0.5D0 *
C   # ( 1.0D0 - SIN( PI * ( THP_R - PRH_CR ) / ( 2.0D0 * PRH_CD ) ) )
C   ENDDIF
C   IF ( THP_R .GE. ( PRH_CR + PRH_CD ) ) THEN
C   THP_CUTOFF = 0.0D0
C   ENDDIF

  CUTOFF (IDXJ) = THP_CUTOFF

2210 CONTINUE

RETURN
c 2299 STOP
END

2301 REAL*8 FUNCTION VDW(H,ZAHYO,LIST_VDW,KYORI,CUTOFF)
INCLUDE 'PARAMETER'
INTEGER I
INTEGER N
REAL*8 ZAHYO(HAX_ATH3)
INTEGER LIST_VDW(0:HAX_LIST_VN2,HAX_ATH)
REAL*8 KYORI(HAX_DATA_IDX)
REAL*8 CUTOFF(HAX_DATA_IDX)
REAL*8 VDW_I

VDW = 0.0D0

DO 2310 I = 1 , N
  VDW = VDW +
#   VDW_I(I,ZAHYO,LIST_VDW,KYORI,CUTOFF)

2310 CONTINUE

VDW = VDW / 2.0D0

RETURN
c 2399 STOP
END

2401 SUBROUTINE CALC_DIFF2_VDW
#(H,ZAHYO,LIST_VDW,KYORI,CUTOFF,DIFF2,DIFF2_DATA)
INCLUDE 'PARAMETER'

INTEGER N,N3
INTEGER LIST_VDW(0:HAX_LIST_VN2,HAX_ATH)

REAL*8 ZAHYO(HAX_ATH3)
REAL*8 KYORI(HAX_DATA_IDX)
REAL*8 CUTOFF(HAX_DATA_IDX)

INTEGER DIFF2(0:HAX_DIFF2_LIST,HAX_ATH3)
REAL*8 DIFF2_DATA(HAX_DIFF2_LIST,HAX_ATH3)

INTEGER I,J,K
INTEGER L

N3 = N * 3

C DO 2410 I = 1 , HAX_ATH3
C   DIFF2(0,I) = 0
C 2410 CONTINUE

```

```

DO 2450 I = 1 , N
C   隣合う原子の座標系
DO 2445 L = 1 , LIST_VDW(O,I)
  J = LIST_VDW(L+HAX_LIST_VH,I)

  CALL CALC_DIFF2_VDW_1
#   (I,J,ZAHYO,LIST_VDW,KYORI,CUTOFF,DIFF2,DIFF2_DATA)
2445 CONTINUE

2450 CONTINUE

RETURN
c 2499 STOP
END

2501 SUBROUTINE CALC_DIFF2_VDW_1
#   (I,J,ZAHYO,LIST_VDW,KYORI,CUTOFF,DIFF2,DIFF2_DATA)

  INCLUDE 'PARAMETER'
  INTEGER I,J
  INTEGER LIST_VDW(O:HAX_LIST_VH2,HAX_ATOM)

  REAL*8 ZAHYO(HAX_ATOM3)
  REAL*8 KYORI(HAX_DATA_IDX)
  REAL*8 CUTOFF(HAX_DATA_IDX)

  INTEGER DIFF2(O:HAX_DIFF2_LIST,HAX_ATOM3)
  REAL*8 DIFF2_DATA(HAX_DIFF2_LIST,HAX_ATOM3)

  REAL*8 VDW_FUNC

  INTEGER I3 , J3
  INTEGER II,JJ
  INTEGER I3II,J3JJ
  REAL*8 X,Y

  REAL*8 THP
  REAL*8 DATA

  REAL*8 R,DIST

  REAL*8 GI(3)
  REAL*8 GJ(3)

  I3 = I*3 - 3
  J3 = J*3 - 3

  GI(1) = ZAHYO(I3 + 1)
  GI(2) = ZAHYO(I3 + 2)
  GI(3) = ZAHYO(I3 + 3)

  GJ(1) = ZAHYO(J3 + 1)
  GJ(2) = ZAHYO(J3 + 2)
  GJ(3) = ZAHYO(J3 + 3)

  DIST = CALC_R(GI,GJ)

DO 2530 II = 1 , 3
  DO 2520 JJ = 1 , 3

    X = GI(II)
    Y = GJ(JJ)

    GI(II) = X + EPS2
    GJ(JJ) = Y + EPS2
    R = CALC_R(GI,GJ)

    THP = VDW_FUNC(R)

    GI(II) = X - EPS2
    GJ(JJ) = Y - EPS2
    R = CALC_R(GI,GJ)

    THP = THP + VDW_FUNC(R)

    GI(II) = X + EPS2
    GJ(JJ) = Y - EPS2
    R = CALC_R(GI,GJ)

    THP = THP - VDW_FUNC(R)

    GI(II) = X - EPS2
    GJ(JJ) = Y + EPS2
    R = CALC_R(GI,GJ)

```

```

      THP = THP - VDW_FUNC(R)

      DATA = THP / ( 8.0D0 * EPS2 * EPS2 )

      IF ( DIST .LT. (PRH_CR+PRH_CD) ) THEN
      CALL ADD2_DIFF2( DATA , I3+II , J3+JJ , DIFF2 ,DIFF2_DATA)
      ELSE
      CALL ADD_DIFF2( DATA , I3+II , J3+JJ , DIFF2 ,DIFF2_DATA)
      ENDDIF
      GI(II) = X
      GJ(JJ) = Y

2520  CONTINUE
2530  CONTINUE

      RETURN
c 2599 STOP
      END

2601 REAL*8 FUNCTION CALC_R(GI,GJ)

      REAL*8 GI(3)
      REAL*8 GJ(3)
      REAL*8 SQRT

      CALC_R = SQRT(
#      (GI(1) - GJ(1))**2+
#      (GI(2) - GJ(2))**2+
#      (GI(3) - GJ(3))**2 )

      RETURN
c 2699 STOP
      END

2701 SUBROUTINE HAKE_NEWKYORI(N,ZAHYO,LIST,KYORI,CUTOFF)
      INCLUDE 'PARAMETER'
      INTEGER N,I
      REAL*8 ZAHYO(HAX_ATH3)
      INTEGER LIST(O:HAX_LIST_M2,HAX_ATH)
      REAL*8 KYORI(HAX_DATA_IDX)
      REAL*8 CUTOFF(HAX_DATA_IDX)

DO 2710 I = 1 , N
CALL RECALC(I,ZAHYO,LIST,KYORI,CUTOFF)
2710 CONTINUE

      RETURN
c 2799 STOP
      END

2801 SUBROUTINE HAKE_NEWKYORIV(N,ZAHYO,LIST_VDW,KYORI,CUTOFF)
      INCLUDE 'PARAMETER'
      INTEGER N,I
      REAL*8 ZAHYO(HAX_ATH3)
      INTEGER LIST_VDW(O:HAX_LIST_VN2,HAX_ATH)
      REAL*8 KYORI(HAX_DATA_IDX)
      REAL*8 CUTOFF(HAX_DATA_IDX)

DO 2810 I = 1 , N
CALL RECALC_VDW(I,ZAHYO,LIST_VDW,KYORI,CUTOFF)
2810 CONTINUE

      RETURN
c 2899 STOP
      END

```

### B.3 経験ポテンシャルのパラメータファイル

ここで示すファイルは 経験ポテンシャルで用いられる係数をパラメータとして定義する物である。

fortran のプログラムの各 function や subroutine から参照される。

計算において変更する必要があるのは

- c プログラムで用いる炭素原子の最大個数

c

```
INTEGER MAX_ATOM
PARAMETER (MAX_ATOM = 5000)
```

もちいる分子の大きさを考慮して、1 で 役 1.5Å の大きさと考えておくとよい。

- c list を作る時の メッシュの最大値

```
INTEGER MAX_MESH_X
PARAMETER (MAX_MESH_X = 25)
INTEGER MAX_MESH_Y
PARAMETER (MAX_MESH_Y = 25)
INTEGER MAX_MESH_Z
PARAMETER (MAX_MESH_Z = 50)
```

ここでメッシュの最大値をあまり大きくしすぎると計算機に過剰な負荷をかけすぎ、他のユーザにも支障を来たしてしまうので注意されたい。

目安としては、各メッシュの最大値が 100 未満の間で調整すると良い。

```
c 変数型 は STRICT
c IMPLICIT LOGICAL ( A-Z )
IMPLICIT REAL*8 ( A-Z )
```

- c Tesoff ポテンシャルの
- c パラメータ ( 炭素原子 )

```
REAL*8 PRH_EA
REAL*8 PRH_EB

REAL*8 PRH_LUHBD1
REAL*8 PRH_LUHBD2
REAL*8 PRH_LUHBD3

REAL*8 PRH_ALPHA
REAL*8 PRH_DELTA
REAL*8 PRH_ETA

REAL*8 PRH_A
REAL*8 PRH_C
REAL*8 PRH_D
REAL*8 PRH_H

REAL*8 PRH_CR
REAL*8 PRH_CD
```

```

PARAMETER (PRH_EA = 1393.6D0)
PARAMETER (PRH_EB = -346.74D0)

C normal
C   PARAMETER (PRH_LUHBDA1 = 3.4879D0)
C   PARAMETER (PRH_LUHBDA2 = 2.2119D0)

C Graphite saigen
  PARAMETER (PRH_LUHBDA1 = 3.6012997D0)
  PARAMETER (PRH_LUHBDA2 = 2.28381399D0)

C C60 saigen
C   PARAMETER (PRH_LUHBDA1 = 3.6219D0)
C   PARAMETER (PRH_LUHBDA2 = 2.2969D0)

PARAMETER (PRH_LUHBDA3 = 0.0D0)

PARAMETER (PRH_ALPHA = 0.0D0)
PARAMETER (PRH_DELTA = 0.687276D0)
PARAMETER (PRH_ETA = 0.72752D0)

PARAMETER (PRH_A = 1.5724D-7)
PARAMETER (PRH_C = 38049.0D0)
PARAMETER (PRH_D = 4.3484)
C   PARAMETER (PRH_D = 4.384)
PARAMETER (PRH_H = -0.57058)

PARAMETER (PRH_CR = 1.95D0)
PARAMETER (PRH_CD = 0.15D0)

c   円周率
REAL*8 PI
PARAMETER (PI = 3.14159265358979323846D0)

c   プログラムで用いる炭素原子の最大個数
c
INTEGER HAX_ATOM
PARAMETER (HAX_ATOM = 5000)

c   炭素原子の最大個数の3倍
c
INTEGER HAX_ATOM3
PARAMETER (HAX_ATOM3 = HAX_ATOM * 3)

c   list を作る時のメッシュの最大値
INTEGER HAX_HESH_X
PARAMETER (HAX_HESH_X = 25)
INTEGER HAX_HESH_Y
PARAMETER (HAX_HESH_Y = 25)
INTEGER HAX_HESH_Z
PARAMETER (HAX_HESH_Z = 50)

c   一つのメッシュの最大個数
INTEGER HAX_HESH_ATOM
PARAMETER (HAX_HESH_ATOM = 50)

c   一つのlistの最大個数
INTEGER HAX_LIST_N
PARAMETER (HAX_LIST_N = 20)

c   一つのlistの最大個数の2倍
INTEGER HAX_LIST_N2
PARAMETER (HAX_LIST_N2 = HAX_LIST_N * 2)

c   一つのlist2の最大個数
INTEGER HAX_LIST2_N
C   PARAMETER (HAX_LIST2_N = 40)
PARAMETER (HAX_LIST2_N = 20)

INTEGER HAX_DIFF2_LIST
C   PARAMETER (HAX_DIFF2_LIST = 400)
PARAMETER (HAX_DIFF2_LIST = 1)

INTEGER HAX_LIST_IJ
PARAMETER (HAX_LIST_IJ = 10)

c   距離 カットオフのデータ領域の大きさ
INTEGER HAX_DATA_IDX
PARAMETER (HAX_DATA_IDX = 500000)

c   メッシュ間隔
INTEGER HESH_D
PARAMETER ( HESH_D = ( PRH_CR + PRH_CD ) * 1.01D0 )

```

```
PARAMETER (EPS1 = 0.00001D0)
REAL*8 EPS2
PARAMETER (EPS2 = 0.00001D0)

REAL*8 TIME_DIV
PARAMETER (TIME_DIV = 2.5D-15)
C 2.5
REAL*8 Na
PARAMETER (Na = 6.022045D+23)

REAL*8 HassC
PARAMETER (HassC = 12.0D0 * 1.6605655D-27)

REAL*8 CONV_VELO
PARAMETER (CONV_VELO =
# 1.6021892D-19/HassC*TIME_DIV*TIME_DIV*1.0D+20)

REAL*8 PRH_VCR
REAL*8 PRH_VCD

PARAMETER (PRH_VCR = 2.1D0)
PARAMETER (PRH_VCD = 0.1D0)

REAL*8 PRH_VCR2
REAL*8 PRH_VCD2

PARAMETER (PRH_VCR2 = 17.5D0)
PARAMETER (PRH_VCD2 = 1.0D0)

REAL*8 HESH_D_VDW
PARAMETER ( HESH_D_VDW = ( PRH_VCR2 + PRH_VCD2 ) * 1.01D0 )

c   vdw の list を作る時の メッシュの最大値
INTEGER HAX_HESH_V_X
PARAMETER (HAX_HESH_V_X = 7)
INTEGER HAX_HESH_V_Y
PARAMETER (HAX_HESH_V_Y = 7)
INTEGER HAX_HESH_V_Z
PARAMETER (HAX_HESH_V_Z = 20)

c   vdw 一つのメッシュの最大個数
INTEGER HAX_HESH_V_ATH
PARAMETER (HAX_HESH_V_ATH = 2100)

c   一つの list の最大個数
INTEGER HAX_LIST_VN
PARAMETER (HAX_LIST_VN = 2100)

c   一つの list の最大個数 の 2 倍
INTEGER HAX_LIST_VN2
PARAMETER (HAX_LIST_VN2 = HAX_LIST_VN * 2)
```

## 参考文献

- [1] H. Hamada, S. Sawada, and A. Oshiyama
- [2] J. M. Mintmire, B. I. Dunlap, and C. T. White, *Phys. Rev. Lett.* **68**, 631 (1992).
- [3] R. Saito, M. fujita, G. Dresselhouse, and M. S. Dresselhouse, *Phys. Rev. B* **46**, 1804 (1992).
- [4] Susumu Okada, Electronic and Geometric Structure of Fullerenes and Polymerized  $C_{60}$ , (Nov 1997). 東京工業大学博士論文.
- [5] 竹谷 隆男, "カーボンナノチューブの構造", 電子工学専攻 1998 年度 修士論文.
- [6] S. Iijima, *Nature* **354**, 56 (1991)
- [7] B. W. Smith, M. Monthoux, D. E. Luzzi, *Nature* **396** (1998) 323.
- [8] A. G. Rinzler, J. Liu, H. Dai, et. al, *Appl. Phys. A* **67** (1998) 29.
- [9] C. Journet, W. K. Maser, P. Bernier, et. al, *Nature* **388** (1997) 756.
- [10] Jeremy Sloan, Rafal E. Dunin-Borkowski, John L. Hutchison, et al, *Chemical Physics Letters* **316** (2000) 191.
- [11] 松尾 竜馬, "カーボンナノチューブの面間相互作用に関する研究", 電子工学専攻 1999 年度 修士論文.
- [12] 齋藤 弥八、坂東 俊治 共著 "カーボンナノチューブの基礎", コロナ社 (1998) 23.
- [13] R. E. Smalley, et al, *Science* **273** (1996) 483.
- [14] S. Bandow, M. Takizawa, et al, "Raman scattering study of double-wall carbon-nanotubes derived from the chains of fullerenes in single-wall carbon nanotubes"